

# ESTRUCTURA, BIOMASA AÉREA Y CARBONO ALMACENADO EN LOS BOSQUES DEL SUR Y NOROCCIDENTE DE CÓRDOBA

Adela Vásquez & Henry Arellano

## RESUMEN

Se estimó la biomasa aérea y el carbono almacenado en doce tipos de bosque en localidades del departamento de Córdoba, cuyos montos anuales de precipitación varían desde 3000 mm (climas súper húmedos) hasta 1300 mm (climas semihúmedos). La biomasa se estimó con base en aspectos de la estructura de la vegetación (diámetro a la altura del pecho, altura y peso específico de la madera de los individuos). Para estimar la biomasa se probaron nueve ecuaciones alométricas generadas para bosques tropicales disponibles en la literatura y se seleccionaron las ecuaciones propuestas por Chave *et al.* (2005) específicas para bosques húmedos y secos. En levantamientos tipo, se midió el contenido de carbono de los árboles en cuatro tejidos (tallo, rama, corteza y hojas), mediante el método de combustión en seco en un analizador automático que permite obtener el porcentaje de carbono total presente en una muestra de peso conocido. Para cuantificar el carbono almacenado en la biomasa, se multiplicaron estas fracciones de carbono obtenidas por unidad de masa seca y la biomasa estimada para cada tejido; a partir de la suma de cada tejido se obtuvo el carbono almacenado por individuo. Los valores de biomasa y carbono más altos se obtuvieron en las asociaciones Prestoeo decurrentis - Trichillietum poeppigi, Macrolobio ischnocalycis - Peltogynetum purpurea con valores de biomasa que oscilan entre 40.83 y 41.15 Mg/0.05 ha y de carbono entre 18.44 y 18.9 MgC/0.05ha, seguidos por los bosques de las asociaciones Protio aracouchini - Viroletum elongatae y Tovomito weddellianae - Quercetum humboldtii, con valores altos de biomasa entre 30.01 y 34.33 Mg/0.05 ha y carbono entre 13.78 y 15.76 MgC/0.05 ha. Estos resultados se relacionan con valores altos de área basal y altura de los individuos de estos bosques. Los valores más bajos se obtuvieron en los bosques de asociaciones Marilo laxiflorae - Pentaclethretum macrolobae, Mayno grandifol-

liae - Astrocaryetum malybo, Cordietum proctato - panamensis y la comunidad de *Acalypha* sp. y *Guazuma ulmifolia* cuya biomasa varía entre 7.39 y 14.09 Mg/0.05 ha y la cantidad carbono entre 3.34 y 6.58 MgC/0.05 ha. Estos resultados se relacionan con los valores bajos de área basal y altura, así como la tendencia a tener un alto número de individuos que se observa en estos bosques. En la mayoría de los bosques la biomasa y el carbono se concentran principalmente en las clases diamétricas superiores (> 70cm) y en los estratos arbóreos (superior e inferior). Los bosques de las asociaciones Prestoeo decurrentis-Trichillietum poeppigi, Macrolobio ischnocalycis-Peltogynetum purpurea y Trichilio hirtae-Schizolobietum parahibi\_1 presentan dicha situación lo que explica sus valores altos de biomasa y carbono. En contraste, la asociación Cordietum proctato - panamensis y la comunidad de *Acalypha* sp. y *Guazuma ulmifolia* tienen mayor cantidad de biomasa acumulada (57.91% y 62.71% respectivamente) en las clases diamétricas menores –clases II (10-20cm) y III (30-50cm)- y en el estrato subarbóreo, situación que se relaciona con sus valores bajos de biomasa y carbono. Con respecto al gradiente de precipitación, la biomasa y el carbono variaron desde 34.18 Mg/0.05 ha y 15.68 MgC/0.05 ha respectivamente, para los bosques en clima súper húmedo hasta 7.39 Mg/0.05 ha y 3.34 MgC/0.05 ha respectivamente, para los semihúmedos; los bosques en clima muy húmedo y húmedo presentaron valores similares de 21.15 Mg/0.05 ha de biomasa y 9.27 MgC/0.05 ha de carbono para los primeros y de 21.4 Mg/0.05 ha de biomasa y 9.64 MgC/0.05 ha de carbono para los últimos. Probablemente, además de la precipitación, en estos resultados influye el estado de conservación de los bosques, ya que la intervención es más pronunciada a medida que avanza la condición de clima muy húmedo a semihúmedo, que podría incidir en la alta variabilidad observada en los bosques de estos ambientes. La contribución de las especies a las reservas de biomasa y carbono se da de forma desigual,

y se encontró que la mayor cantidad de carbono está almacenado en la biomasa de un reducido número de especies. Entre las especies con esta dominancia en la biomasa y carbono, se encuentran *Quercus humboldtii* que tiene almacenados 18.86 Mg/0.05 ha (62.99%) y 8.68 MgC/0.05 ha (62.93%); *Cavanillesia platanifolia* con 8.36 Mg/0.05 ha (34.74%) y 3.78 (34.88%) MgC/0.05 ha; *Peltogyne purpurea* con 15.57 Mg/0.05ha (37.88%) y 7.11 MgC/0.05ha (37.61%); *Dipteryx oleifera* con 7.97 Mg/0.05 ha (23.25%) y 3.76 MgC/0.05 ha (23.99%) de biomasa y carbono respectivamente.

## ABSTRACT

We estimated the aerial biomass and stored carbon in twelve types of forests in the department of Córdoba with annual rain fall ranging from 3000 mm (super humid climates) to 1300 mm (semi-humid climate). Biomass was estimated based on structural aspects of the vegetation (diameter at breast height, total height, and wood specific weight). We tested nine allometric equations for tropical forests available in the literature and selected those proposed by Chave *et al* (2005) that are specific for humid and dry forests. Carbon content in trees was measured in four tissues (stem, branch, bark, and leaves) through an automated dry combustion method, which estimates the percentage of carbon in a sample of known weight. To quantify the stored carbon in the biomass, such percentages of carbon per dry mass were multiplied by the biomass estimated for each tissue; the stored carbon for each individual was then estimated by adding the biomass value of each tissue. Highest biomass and carbon values were found in the associations Prestoeo decurrentis - Trichillietum poeppigi, Macrolobio ischnocalycis - Peltogynetum purpurea (biomass 40.83 - 41.15 Mg/0.05 ha; carbon 18.44- 18.9 MgC/0.05ha), followed by forests of the associations Protio aracouchini - Viroletum elongatae and Tovomito weddellianae - Quercetum humboldtii (biomass 30.01-34.33 Mg/0.05 ha; carbon 13.78-15.76 MgC/0.05 ha). The lowest values were found in forests of the associations Marilo laxiflorae - Pentaclethretum macrolobae, Mayno grandifoliae - Astrocaryetum malybo, Cordietum proctato - panamensis, and the community *Acalypha* sp. and *Guazuma ulmifolia* (biomass 7.39-14.09 Mg/0.05 ha; carbon 3.34-

6.58 MgC/0.05 ha). Such results are related with the low values in basal area and height as well as the tendency of having a high number of individuals within these forests. In most forests, biomass and carbon are concentrated in the arboreal strata (superior and inferior) and in individuals with a diameter greater than 70 cm, such as the forests of the associations Prestoeo decurrentis-Trichillietum poeppigi, Macrolobio ischnocalycis-Peltogynetum purpurea, and Trichilio hirtae-Schizolobietum parahibi\_1. In contrast, the association Cordietum proctato - panamensis and the community *Acalypha* sp. and *Guazuma ulmifolia* have the greatest accumulated biomass (57.91% and 62.71%, respectively) in the subarboreal stratum with individuals of smaller diameter (diametric Classes II and III with 10-20cm and 30-50cm in diameter), which is related with their low values in biomass and carbon. Biomass and carbon varied with precipitation, ranging from 34.18 Mg/0.05 ha and 15.68 MgC/0.05 ha, respectively, in super humid forests to 7.39 Mg/0.05 ha and 3.34 MgC/0.05 ha in semi-humid forests; similar values were found in very humid (biomass 21.15 Mg/0.05 ha; carbon 9.27 MgC/0.05 ha) to humid forests (biomass 21.4 Mg/0.05; carbon 9.64 MgC/0.05 ha). It is possible that in addition to precipitation, the conservation state of each forest also affects these values because disturbance increases with an increment in the climatic conditions, from the very humid to semi-humid. The species contribution to the biomass and carbon are not equal, with most carbon stored in the biomass of a reduced number of species. Among those species are *Quercus humboldtii* with 18.86 Mg/0.05 ha (62.99%) of biomass and 8.68 MgC/0.05 ha (62.93%) of carbon; *Cavanillesia platanifolia* with 8.36 Mg/0.05 ha (34.74%) of biomass and 3.78 (34.88%) MgC/0.05 ha of carbon; *Peltogyne purpurea* with 15.57 Mg/0.05ha (37.88%) of biomass and 7.11 MgC/0.05ha (37.61%) of carbon; and *Dipteryx oleifera* with 7.97 Mg/0.05 ha (23.25%) of biomass and 3.76 MgC/0.05 ha (23.99%) of carbon.

## INTRODUCCIÓN

Los bosques a través del proceso de fotosíntesis capturan dióxido de carbono atmosférico (CO<sub>2</sub>), lo fijan en sus estructuras vivas y parte de éste lo acumulan en su biomasa, lo transfieren al mantillo en descomposición y al suelo; de esta manera

constituyen reservas de carbono. Otra parte del carbono es intercambiado con la atmósfera, mediante los procesos de respiración y disturbio (Gower, 2003). La acumulación de carbono es influenciada principalmente por factores físicos, edáficos y por patrones de disturbio que afectan la estructura comunitaria y las reservas de biomasa y carbono en los bosques tropicales. La variación de la estructura y de los patrones de distribución de biomasa en los bosques tropicales se asocian principalmente con gradientes latitudinales y altitudinales que se relacionan con las diferencias climáticas, con las características físicas y químicas de los suelos, las condiciones topográficas y con las condiciones de humedad del suelo (Golley, 1983; Clark & Clark, 2000; Alves *et al.*, 2010; Laumonier, 2010; Wittmann & Thaiz Zorzi, 2008). Los procesos de disturbio también se consideran como condicionantes en esta variación (Urquiza-Haas *et al.*, 2007). La combinación de estos factores influye en la conformación de unidades ecológicas con características propias.

Estimar las reservas de biomasa de los bosques es una herramienta útil para valorar la cantidad de carbono que se almacena en las estructuras vivas en un momento dado, lo cual es importante para evaluar su contribución al ciclo del carbono. De ahí el interés por realizar estimaciones de biomasa en los bosques tropicales (Brown, 1997).

En Colombia, se han realizado estimaciones de biomasa en bosques en distintas regiones naturales del país. Las regiones andina y amazónica cuentan con el mayor número de estimaciones, mientras que la región Caribe tiene muy pocos estudios de este tipo (Anzola & Rodríguez, 2001).

Los bosques del departamento de Córdoba han sido sometidos a fuertes procesos de disturbio como deforestación y fragmentación, procesos que inciden en la dinámica de acumulación de carbono en su biomasa, por tanto es necesario cuantificar las reservas de biomasa actuales de estos bosques; se trata de cuantificar el carbono almacenado que presentan y de esta manera contribuir en la definición de estrategias de conservación que garanticen el mantenimiento de las reservas actuales, así como la continuidad de los servicios ambientales. La conservación de estos bosques y su manejo sostenible constituyen una estrategia

apropiada de mitigación del cambio climático, al reducir las emisiones de carbono producto de la deforestación y al permitir que se siga acumulando más carbono. Aunque en los bosques que todavía se conservan y los relictos boscosos del Sur y del Noroccidente del departamento de Córdoba se realizó recientemente la caracterización florística y estructural de la vegetación, no se cuenta aún con información acerca de la cantidad de biomasa almacenada en estos ecosistemas ni de los factores relacionados con su distribución. Por lo tanto, en el presente estudio se ha propuesto estimar la biomasa aérea de los bosques asociados al gradiente de precipitación en localidades del Sur y Noroccidente del departamento de Córdoba mediante metodologías tradicionales y resolver los siguientes interrogantes:

- (1) ¿Cuál es el arreglo en la estructura de los bosques asociados al gradiente de precipitación en localidades del Sur y Noroccidente del departamento de Córdoba?
- (2) ¿Cuánto representa la reserva de biomasa aérea y de carbono que contienen?
- (3) ¿Cómo se distribuye la biomasa aérea y el carbono en estos bosques?
- (4) ¿La distribución de la biomasa aérea se relaciona con la precipitación?

## METODOLOGÍA

### Área de estudio

El estudio se desarrolló en localidades del Sur y Noroccidente el departamento de Córdoba, éste se ubica al Noroccidente de Colombia entre los 09° 26' 16" y 07° 22' 05" de latitud Norte y 74° 47' 43" y 76° 30' 01" de longitud Oeste, en la región Caribe.

### Características del área de estudio

En la geografía de Córdoba se distinguen dos regiones: la cordillerana y la plana. La zona montañosa se encuentra al Sur del departamento en las estribaciones de la cordillera occidental, que se ramifica en tres serranías, Abibe, San Jerónimo y Ayapel. La zona plana formada por la gran llanura del Caribe con ligeras ondulaciones con altitudes inferiores a 100 m incluye los valles de los ríos Sinú, San Jorge y el área costera (García, 1982).

El Departamento de Córdoba se caracteriza por un régimen térmico isotermal, donde el promedio anual siempre es superior a 26.5°C. La temperatura media anual del aire varía entre 26.5°C y 28°C, en la mayor extensión del territorio se registran valores anuales promedio de 27 y 27.5°C; los valores mínimos se presentan en el sur del departamento, de 26.5 a 27°C y los valores más altos se registran en Ciénaga de Oro, 27.8°C. La variación de la temperatura es poco diferenciable de un municipio a otro (Palencia *et al.*, 2006).

El clima de Córdoba presenta un único patrón de lluvias de tipo bimodal tetraestacional (Rangel & Arellano, 2010). La precipitación, la humedad y la evapotranspiración potencial (ETP) presentan variaciones fuertes en el territorio cordobés. Córdoba presenta un gradiente de precipitación que aumenta de norte a Sur. En el sector norte se registran valores entre 1000-1500 mm mientras que en el sector Sur en la zona montañosa, los montos de precipitación superan los 3000 mm al año (Rangel & Arellano, 2010; Rangel & Carvajal, 2011).

Para la realización del presente estudio se tomaron dos sectores de muestreo, el Sur y el Noroccidente de Córdoba.

En el sector Sur se estudiaron bosques establecidos en los municipios de Montelíbano, Tierralta y Valencia. El primer municipio pertenece a la subregión San Jorge y los dos últimos a la subregión Sinú (IGAC, 2009). La precipitación media anual en estos municipios varía entre 1600 y 2900 mm, con valores mayores en el extremo Sur de Tierralta y Montelíbano. La humedad relativa presenta valores entre a 84-85%. La temperatura promedio es de 26.9 °C (Palencia *et al.*, 2006).

Una clasificación local realizada por Palencia *et al.* (2006) ubica las localidades de Montelíbano y Tierralta como súper-húmedo y Valencia como semi-húmedo. De acuerdo con la definición de las unidades climáticas para la región Caribe de Colombia, realizada recientemente por Rangel & Carvajal (2012) con base en los montos anuales de precipitación, las localidades de muestreo en Montelíbano y el Sur de Tierralta (Parque Nacional Natural Paramillo) pertenecen a la unidad climática súper-húmedo, las otras localidades de Tierralta y Valencia corresponden a la unidad muy húmedo (Tabla 164).

En el Noroccidente se estudiaron algunos relictos boscosos de localidades de Los Córdoba, Canalete, Moñitos y Puerto Escondido, municipios pertenecientes a la zona plana, subregión costanera. En estos municipios la precipitación media anual varía entre 1300 mm y 1480 mm. La humedad relativa oscila entre 83-84% y la temperatura alcanza valores hasta de 28°C (Palencia *et al.*, 2006).

Los relictos boscosos de Los Córdoba y Canalete se encuentran en la transición de bosque húmedo-seco, la clasificación local realizada por Palencia *et al.* (2006) con base en Thornthwaite, el clima es semi-húmedo en Los Córdoba y semisecho en Canalete. Además, en caracterizaciones recientes realizadas en estas localidades, se han encontrado representantes propios de bosque húmedo que constituyen puntos de enlace con la biota y la vegetación de regiones más húmedas (Rangel *et al.*, 2010), que permite ubicarlos en la denominación de bosques en climas húmedos. De acuerdo con los montos de precipitación anual de las localidades de muestreo y con las unidades climáticas definidas por Rangel & Carvajal (2012), los relictos boscosos de Los Córdoba y Canalete pertenecen a la unidad de clima húmedo y los relictos boscosos de Moñitos y Puerto Escondido pertenecen a la formación de bosque semi-húmedo (Tabla 164).

Córdoba es un departamento donde los bosques han sido sometidos a altos procesos de transformación antrópica, dejando como resultado relictos boscosos en el norte y bosques con diferentes grados de fragmentación y conservación en el Sur. Los sitios muestreados incluyen bosques con bajo grado de intervención aparente hasta bosques con niveles muy altos (Tabla 164).

Los bosques estudiados en el sector Sur fueron descritos en su composición florística y estructura recientemente por Rangel & Avella (2011) y Estupiñán *et al.* (2011) y agrupados en cuatro alianzas y ocho asociaciones, y los relictos de bosque estudiados en el sector Noroccidente hacen parte de cuatro asociaciones descritas por Rangel *et al.* (2010), que se enuncian en la Tabla 164. Los sitios de muestreo se seleccionaron de tal manera que incluyeran variación en las condiciones climáticas, principalmente en la precipitación la cual varía entre 1340 y 2900 mm anuales, es decir

se estudiaron bosques en un gradiente que va desde clima súper húmedo a semi-húmedo. Además incluyen variación en las características topográficas (Tabla 164).

### Toma de información

En cada localidad se establecieron parcelas de 500 m<sup>2</sup> en las cuales se evaluaron aspectos de la composición florística y estructura de la vegetación siguiendo la metodología descrita por Rangel & Velásquez (1997).

En cada levantamiento se midieron todas las plantas leñosas (árboles y palmas), con DAP  $\geq$  5 cm. Los parámetros registrados fueron nombre de la especie, el DAP (diámetro a la altura del pecho o a 1,3 m sobre el suelo o encima de las bambas en caso de que las tuviera), altura total y altura del tallo y cobertura. El DAP se midió con cinta diamétrica, la altura se determinó por estimación visual con ayuda de una vara graduada y la cobertura se estimó calculando directamente el área que proyecta sobre el suelo la copa de cada individuo. De cada especie se colectó material vegetal (fértil y estéril) usando bajarramas, el cual se preparó, se montó en papel periódico y se preservó usando alcohol etílico al 75%. Se registró información característica de los individuos (nombre común, uso, hábitat, forma de crecimiento, tamaño, color de las flores y/ frutos, aspectos de la corteza como color, olor, exudado, rasgos de las hojas como forma, protección, entre otros). El material recolectado y la información registrada se utilizaron para la determinación de las especies en campo y/o en el herbario Nacional Colombiano del Instituto de Ciencias Naturales.

El estudio se realizó con base en mediciones en campo y se complementó con información primaria de la caracterización realizada por Rangel *et al.* (2010) para los bosques circundantes a los complejos de humedales del departamento de Córdoba, la caracterización florística y estructural de los bosques del Sur del departamento de Córdoba (Rangel & Avella, 2011) y el estudio sobre la estructura y la composición florística de los bosques inundables del parque nacional natural Paramillo (Estupiñán *et al.*, 2011) como se enuncia en la Tabla 164.

### • Peso específico de la madera

Para medir esta variable se seleccionaron cuatro tipos de bosque de acuerdo con el patrón de lluvias descrito por Rangel & Carvajal (2012). Bosques de la asociación Jacarando copaiaie - Pouterietum multiflorae, localizados en áreas con clima súper húmedo (precipitación entre >2200-3000 mm anuales); bosques de la asociación Protio araucouchini - Viroletum elongatae ubicados en clima muy húmedo (precipitación entre >1800-2200 mm/anuales); bosques de la asociación Trichilio hirtae - Schizolobietum parahibi en clima húmedo (>1400-1800 mm anuales) y bosques de la comunidad de *Acalypha* sp. y *Guazuma ulmifolia* ubicados en clima semihúmedo (>1000-1400 mm/anuales).

Para la determinación del peso específico se tomaron tres (3) muestras de madera del tallo de 5 cm<sup>3</sup> de cada individuo con diámetro mayor a 5 cm presente en los levantamientos. Las muestras se tomaron a 1.3 m del suelo y para extraerlas se utilizó un taladro con copa de 1 pulgada, manteniendo en lo posible la misma profundidad. Se pesaron en el campo usando una balanza con precisión de 0.01 g, se envolvieron en papel periódico, se etiquetaron, se preservaron en alcohol etílico al 75% y se almacenaron en bolsas plásticas para su transporte al laboratorio. Allí se determinó el volumen de cada muestra mediante medición indirecta, para lo cual se sumergieron en una probeta graduada que contenía agua con un volumen conocido y se registró el volumen de agua desplazada, el cual equivale al volumen de la muestra. Posteriormente, las muestras se secaron en el horno del laboratorio de Palinología y Paleoecología de la Universidad Nacional de Colombia a 105°C hasta peso constante para obtener la masa anhidra (seca) y se pesaron en una balanza electrónica de precisión 0,01 g.

### • Contenido de carbono

El contenido de carbono se midió en los individuos leñosos presentes en los levantamientos seleccionados (DAP > 5cm); a cada uno se le tomaron tres muestras de cada componente (tallo, rama, corteza y hojas). Las muestras de tallos que se tomaron para determinar el peso específico de la madera se utilizaron también para evaluar el

**Tabla 164.** Información general de las localidades de estudio y de los levantamientos de vegetación realizados en el gradiente de precipitación: súper húmedo-semi húmedo y tipos de vegetación correspondiente.

Lev: levantamiento; PMA: precipitación media anual.

SÍMBOLO	FORMACIÓN VEGETAL DEL SITIO	ALIANZA	ASOCIACIÓN	LEV	LOCALIDAD	LATITUD	LONGITUD	ALTITUD (m)	PENDIENTE	PMA (mm)	AUTOR-FUENTE
BHt2/Jco-Pmu	Bosque tropical primario en clima súper húmedo de poco a medianamente intervenido	Brosimo utilis - Pentaclethron macrolobae	Jacaranda copaiae-Pouterium multiflorae	SC-1	Montelibano, Candelaria, Lagudera	7.799139	-75.8552	136-334	7.62	2422	Avella & Rangel, 2011
				SC-10	Tierralta, La Oscurana, Nueva Estrella	8.008556	-76.0899		16.95	2102	
				SC-2	Montelibano, Aguasprietas, Guájaro	7.769222	-75.876		5.91	2509	
Bmht2/Mla-Pma	Bosque tropical primario en clima muy húmedo medianamente intervenido		Marilo laxiflorae-Pentaclethrum macrolobae	SC-6	Tierralta, La Oscurana, Onomás	8.012361	-76.1028	157-174	15.8	2097	
				SC-9		8.007611	-76.1015		11.62	2094	
Bmht1/Par-Vel	Bosque tropical primario en clima muy húmedo poco o nada intervenido		Protio aracouchini-Violetum elongatae	SC-16A		8.036944	-76.0964	136-178	8.25	2021	Este estudio
				SC-16B	Tierralta, Tuis-tuis, Tuti-fruti	8.036944	-76.0956		21.06	2021	
BHt1/Twe-Qhu	Bosque tropical primario en clima super húmedo poco o nada intervenidos	Bililo roseae-Quercion humboldtii	Tovomito weddellianae-Quercetum humboldtii	SC-17		7.960194	-76.0842	774-937	12.34	2309	Rangel & Avella (2011).
				SC-18	Tierralta, El silencio - PNN Paramillo	7.960278	-76.0906		13.43	2422	
				SC-20		7.960944	-76.0839		14.04	2309	
BHht1/Pde-Tpo	Bosque tropical primario en clima super húmedo en sitios inundables poco o nada intervenidos	Eschweilero coriatae - Pentaclethron macrolobae	Prestoco decurrentis-Trichilietum poeppigi	PNP-1		7.6115	-76.0142	179-213	1.13	2899	Estupiñan et al., 2011
				PNP-2	Tierralta, Llanos Río Tigre - PNN Paramillo	7.646306	-76.0111		0	2842	
				PNP-3		7.619111	-76.0121		1.52	2899	
				PNP-4		7.658278	-76.0243		3.24	2808	
BHri1/Mis-Ppu	Bosque tropical primario en clima super húmedo en sitios asociados a cuerpos de agua poco o nada intervenidos		Macrolobio ischnocalycis-Pellogynetum purpurea	PNP-6		7.662167	-76.0962	196-246	4.08	2868	
				PNP-7	Tierralta, Río Manso - PNN Paramillo	7.666111	-76.0945		4.52	2849	
				PNP-8		7.673917	-76.1109		4.08	2798	
				PNP-9		7.665861	-76.1021		0.72	2868	
Bmht2/Cpy-Pdo	Bosque tropical primario en clima muy húmedo poco intervenido	Astrocaryo malybo - Cavanillesion platanifoliae	Cariniano pyriformis-Pentaparietum doroteae	SC-12		8.1625	-76.2083	127-124	6.08	1818	Avella & Rangel, 2011
				SC-13	Valencia, Nuevo Oriente, B. Comunitario	8.162861	-76.2074		4.66	1818	
Bmht2/Mgr-Ama	Bosque tropical primario y secundario en clima muy húmedo muy intervenido		Mayno grandifoliae-Astrocaryetum malybo	SC-11		8.162056	-76.2078	97-142	4.52	1818	
				SC-14		8.148194	-76.2333		0.51	1860	
BHt2/Cpr-Cpa	Bosque tropical primario en clima húmedo de poco a medianamente intervenido	Cratevo tapiae - Cavanillesion platanifoliae	Cordietum proctato-panamensis	NO-P25	Los Córdoba, Floral, La Ceiba	8.769028	-76.3046	97-139	2.53	1441	Rangel et al., 2010
				NO-P23		8.746417	-76.3198		2.53	1454	
				NO-P30		8.751333	-76.3302		2.86	1477	
				NO-P31		8.751361	-76.3302		1.6	1477	
				NO-P32		8.751389	-76.3303		1.6	1477	
				NO-P33		8.749389	-76.317		3.24	1454	
				NO-P34		8.749333	-76.3171		3.2	1454	
				NO-P35		8.749222	-76.317		5.27	1454	
				NO-P36		8.768556	-76.3118		5.08	1441	
				NO-P37		8.770583	-76.3097		1.13	1441	
				NO-P38		8.766722	-76.309		2.02	1441	
BHt2/Cod-Cpl	Bosque tropical primario en clima húmedo medianamente intervenido		Cappari odoratissimatis-Cavanillesietum platanifoliae	NO-P20		8.745944	-76.3269	98-111	2.86	1468	
				NO-P21		8.740167	-76.3399		2.09	1487	
				NO-P22		8.743917	-76.324		5.44	1468	
BHt1/Thi-Spa	Bosque tropical en clima húmedo primario poco intervenido	Alianza no definida	Trichilio hirtae-Schizolobietum parahibi	NC-3	Los Córdoba, S. Rosa Caña, Campo Alegre	8.795139	-76.3235	100-177	5.15	1460	Este estudio
				NC-4		8.794278	-76.3204		13.06	1444	
				NO-P1		8.7995	-76.3303		5.27	1478	
	Bosque tropical en clima húmedo primario medianamente intervenido			NO-P4	Los Córdoba, S. Rosa Caña, Nuevo Nariño	8.797667	-76.3239		10.62	1460	Rangel et al., 2010
				NO-P5		8.798639	-76.3249		6.57	1465	
				NO-P6		8.795667	-76.3318		7.21	1482	
BHt3/Asp-Gul	Bosque tropical en clima semi húmedo muy intervenido	Alianza no definida	Acalypha sp. y Guazuma ulmifolia	NC-1	Moñitos, La Vega, Viento Solar	9.121444	-76.1859	10-147	3.2	1400	Este estudio
				NO-P24	Pto. Escondido, Santa Bárbara	8.737806	-76.2232		1.52	1343	
				NO-P26	Canalete, La Lorenza, La Pozada	9.097361	-76.2055		3.2	1403	

contenido de carbono en este componente. Las muestras de corteza se tomaron con machete y las de ramas y hojas se colectaron con bajaramas. Se siguió el mismo procedimiento de preservación y secado, que se realizó con las muestras para la determinación del peso específico.

En el Laboratorio de carbones del Instituto de Investigaciones en Geociencias y Minería INGEOMINAS, las muestras secas se molieron dos veces hasta a obtener un tamaño de 0.25 mm, luego se secaron nuevamente a 105°C durante 24 horas en el horno del laboratorio de Palinología de la Universidad Nacional de Colombia, sede Bogotá, para eliminar cualquier resto de humedad. Posteriormente, una pequeña cantidad (0.020 g) de cada muestra se colocó en la cámara del analizador elemental de carbono, hidrógeno y nitrógeno Leco modelo TruSpec (Leco Corporation 1984), el cual mediante el método de combustión en seco a 950°C permite obtener el porcentaje de carbono por unidad de masa seca presente en cada muestra. Este servicio fue prestado por el Laboratorio de Carbones del Instituto de Investigaciones en Geociencias y Minería INGEOMINAS.

## Procesamiento de la información

### Estructura

Se realizó una clasificación de levantamientos y especies a partir del índice de predominio fisionómico, mediante Twinspan, procedimiento que permitió ubicar los levantamientos en cada comunidad de vegetación como se observa en la Tabla 164.

Los árboles se clasificaron en seis clases de acuerdo con su DAP: I: 2.5-10cm, II: >10-30cm, III: >30-50cm, IV: >50-70, V: >70-100 y VI: >100cm. Se utilizó esta clasificación con fines comparativos con otros estudios. También se utilizó la clasificación sugerida por Rangel & Velásquez (1997) para estudiar la distribución vertical de la vegetación, con los siguientes intervalos de altura: arbustivo (ar): 1.5-5m; subarbóreo (Ar): 5-12m; arbóreo inferior (Ai): 12-15 y arbóreo superior (As): >25m.

Se realizaron distribuciones de frecuencia de la biomasa por clase diamétrica con intervalos de 10 cm y por estrato para cada tipo de bosque y se

utilizó la regla de Sturges para obtener clases de variación de la biomasa y carbono almacenados en la vegetación.

### Estimación de la biomasa

Para estimar la biomasa aérea de los bosques se usan generalmente dos métodos: métodos directos destructivos y métodos indirectos que realizan simulaciones a partir de información básica de inventarios y de imágenes satelitales. Los métodos destructivos son básicamente: 1. Cosecha de la totalidad de la vegetación, 2. Estimación de la biomasa aérea por el método del árbol medio y 3. Modelos de regresión, que relacionan la masa seca de algunos árboles con otras variables (DAP, altura, peso específico de la madera, entre otras). Los modelos obtenidos se utilizan para estimar la biomasa del árbol, en un área conocida. El método de los modelos de regresión es la mejor aproximación, y por ende se usa en la mayoría de investigaciones de cuantificación de biomasa de los bosques tropicales (Zapata *et al.*, 2003). Para este fin, uno de los modelos más utilizados es el modelo alométrico, el cual relaciona la masa seca del árbol con una variable de fácil medición.

En el presente estudio, para la estimación de biomasa aérea, se usó el método de modelos alométricos derivados de una muestra de árboles cosechados en áreas geográficas con condiciones similares a las del estudio, como lo recomiendan varios autores.

### • Parámetros usados

Para la estimación de la biomasa aérea de los individuos con diámetro mayor a 5 cm se utilizaron los datos de parámetros estructurales medidos en los levantamientos (DAP y altura). Además, se incluyó el peso específico aparente básico de la madera  $\rho$ , definido como el cociente entre el peso de la madera anhidra (aquella en la que se ha eliminado toda la humedad) y el volumen en condiciones de campo (estado verde). A partir de estos valores se calculó  $\rho$  con la siguiente fórmula:

$$\rho = Pa/Vv$$

Siendo  $\rho$  = Peso específico aparente básico (g/cm<sup>3</sup>)

Pa = peso de la madera en estado anhidro (g)

Vv: volumen de la madera en estado verde (cm<sup>3</sup>)

Debido a las dificultades logísticas, no fue posible medir todas las especies presentes en los levantamientos de vegetación, por lo tanto, el peso específico de la madera se midió solamente en los bosques seleccionados; la información de las otras especies presentes en los demás bosques se obtuvo de valores registrados en la literatura (Global Wood Density Database, Chave *et al.*, 2009; Lastra, 1975 y Anzola & Rodríguez, 2001). Para las especies que no se encontraron registros en las bases de datos consultadas, o aquellas cuya determinación fue solo hasta el nivel de género, se usó el promedio de valores de las especies medido y/o mencionado, pertenecientes a dicho género. Cuando no se obtuvo información a nivel de género se usó el promedio de valores medidos para cada localidad.

#### *Ecuaciones alométricas*

La elección del modelo para estimar la biomasa es crucial, para evitar errores en la estimación. Varios autores sugieren utilizar ecuaciones generadas localmente, sin embargo cuando no se dispone de estas, se pueden emplear ecuaciones ya existentes, generadas en condiciones climáticas y edáficas similares a la de la zona de estudio, especialmente cuando se han validado con datos de cosecha. En el presente estudio se estimó la biomasa aérea de árboles  $\geq 5$  cm de DAP mediante nueve modelos alométricos mencionados en la literatura, que se usan comúnmente en investigaciones con condiciones similares a la zona de estudio (modelos 1-9 en la tabla 165). Estos modelos estiman la biomasa en función de variables de fácil medición tales como diámetro (DAP), altura del árbol (H) y peso específico ( $\rho$ ) de la madera. De acuerdo con las variables predictivas usadas para la estimación, se usaron cuatro series de ecuaciones a saber: (a) en función del DAP (modelos 1-2), (b) en función del DAP y altura, (3 y 4), (c) en función del DAP y peso específico de la madera (5 y 6), y (d) en función del DAP, altura y peso específico de la madera (modelos 7, 8 y 9).

Para la estimación de la biomasa de los árboles de gran porte (individuos con DAP > 156 cm) los cuales superan el límite de diámetro que acepta el modelo seleccionado, se generó una ecuación polinomial de grado diez (Tabla 165) a partir de los datos DAP, altura y peso específico de la madera

y biomasa estimada usando el modelo de Chave *et al.* (2005). Esta ecuación permite obtener valores menores de biomasa para los árboles grandes si se le compara con los que se obtienen con el modelo de Chave *et al.* (2005), debido a que se obtuvo a partir de los datos locales.

La biomasa de los individuos con DAP menor a 5 cm, se calculó usando la ecuación propuesta por Hughes (1999) y la corrección propuesta por Chave (2003), que incorpora el peso específico de la madera. Se utilizó para esta categoría un promedio de valores de peso específico de la madera que proviene de los individuos medidos entre 3 y 7 cm de diámetro, específico para cada localidad de muestreo.

Una situación bastante frecuente cuando se estima la biomasa aérea en los bosques tropicales es que los modelos tienden a sobreestimar los árboles de gran porte, como se observa en la figura 375 con los individuos con DAP > 80 cm. Esta situación, sumada al tamaño de las parcelas genera inconvenientes al convertir la biomasa calculada en las parcelas de muestreo (500 m<sup>2</sup>) a hectáreas, este proceder conduce a que se propague el error y se sobreestima la biomasa. Además el número de individuos de las clases diamétricas mayores tiende a ser muy bajo y al escalar a hectáreas puede sobreestimarse también la cantidad de estos individuos y por ende la biomasa. Por estas razones, en el presente estudio no se realizó la conversión de la unidad de muestreo (parcelas de 500 m<sup>2</sup>) a hectáreas sino que los resultados se presentan para el tamaño de área muestreada (0.05 ha). Esta información se está complementando con datos de densidad por hectárea para generar índices para la zona que permitan realizar las estimaciones en áreas mayores con los datos ajustados a las condiciones locales, y de esta manera realizar los cálculos a nivel regional de una forma precisa; dicho procedimiento hace parte de otro estudio (Biól. H. Arellano, com. pers., I.C.N.).

#### **Cálculo del carbono almacenado en la biomasa**

Para determinar el carbono almacenado en la biomasa es habitual multiplicar la biomasa y la fracción de carbono contenida en ella; no obstante en el presente estudio se generó información de carbono

para los individuos presentes en algunas localidades de muestreo y para cuatro tejidos del árbol dada la variación que se presenta entre estos; entonces fue necesario determinar la distribución de la biomasa en los diferentes componentes del árbol y así relacionar la información de masa y carbono. Se utilizaron las ecuaciones de Overman *et al.* (1990) para estimar la biomasa por componente del árbol (Tabla 166) y usar esta proporción para el cálculo de carbono en la biomasa para cada componente.

Se multiplicó la fracción de carbono medida en cada tejido (tallo, ramas, corteza y hojas) y la cantidad de biomasa de cada componente del árbol para obtener la reserva de carbono por componente; la suma de todos los componentes da como resultado la reserva de carbono en todo el individuo. Los valores de todos los individuos presentes en cada levantamiento se sumaron para obtener la reserva de carbono en la biomasa de todo el levantamiento.

**Tabla 165.** Modelos alométricos empleados para estimar la biomasa aérea de árboles con DAP $\geq$ 2.5cm de los bosques del Sur y Noroccidente de Córdoba, Colombia.

Autor	Modelo	Procedencia	Amplitud DAP
1. IPCC (2005)	$B = \exp[-2.289 + 2.649 \cdot \ln(\text{DAP}) - 0.021 \cdot \ln(\text{DAP}^2)]$		
2. Chave <i>et al.</i> (2001)	$\ln B = [-2.19 + 2.54 \cdot \ln(\text{DAP})]$	Bosque húmedos tropicales	>10 cm
3. Rodríguez (1989)	a) Peso seco madera tallo = $7.54908 + 0.01753 \cdot \text{DAP}^2 \cdot \text{Hc} + 0.10827 \cdot 10^{-19} \cdot \text{DAP}^2 \cdot \text{H}$ . b) Peso seco corteza tallo = $0.98155 + 0.00229 \cdot (\text{DAP}^2 \cdot \text{H})$ . c) Peso seco madera rama = $18.54992 - (0.29015 \cdot 10^{-3}) \cdot (\text{DAP}^2 \cdot \text{Hc})$ d) Peso seco corteza rama = $5.09423 + 0.27629 \cdot 10^{-7} \cdot (\text{DAP}^2 \cdot \text{H})^2$ e) Peso seco madera ramilla = $-2.09893 + 0.5409 \cdot \text{DAP} \cdot 0.0357 \cdot \text{H}$ f) Peso seco corteza ramilla = $-0.375 + 0.0012 \cdot (\text{DAP}^2 \cdot \text{H})$ g) Peso seco hojas = $0.53331 + 0.00103 \cdot (\text{DAP}^2 \cdot \text{H})$ BA = a + b + c + d + e + f + g	Bosque pluvial tropical, bajo Calima, Buenaventura, Colombia.	$\geq$ 3 cm
4. Overman <i>et al.</i> (1990)	$\ln = -3.84 + 1.035 \cdot \ln(\text{DAP}^2 \cdot \text{H})$	Bosque pluvial tropical, Caquetá, Colombia	8.1-100 cm
5. Overman <i>et al.</i> (1990)	$\ln B = [-0.906 + 1.77 \cdot \ln((\text{DAP})^2 \cdot \pi)]$		8.1-100 cm
6. Chave <i>et al.</i> (2005)	$B = \pi \cdot \exp(-1.499 + 2.148 \cdot \ln(\text{DAP}) + 0.207 \cdot (\ln(\text{DAP}))^2 - 0.0281 \cdot (\ln(\text{DAP}))^3)$ $B = \pi \cdot \exp(-0.667 + 1.784 \cdot \ln(\text{DAP}) + 0.207 \cdot (\ln(\text{DAP}))^2 - 0.0281 \cdot (\ln(\text{DAP}))^3)$	Bosques húmedos tropicales mundiales Bosques secos tropicales mundiales	5-156 cm 5-156 cm
7. Anzola y Rodríguez (2001)	$B = VT \cdot \pi \cdot \text{FEB} \text{ ajustado}$	Bosques de Colombia	4-112 cm
8. Overman <i>et al.</i> (1990)	$\ln B = [-2.904 + 0.993 \cdot \ln(\pi (\text{DAP}^2) \cdot \text{H})]$	Bosque pluvial tropical, Caquetá, Colombia	8.1-100 cm
9. Chave <i>et al.</i> (2005)	$B = \exp[-2.977 + \ln(\pi (\text{DAP})^2 \cdot \text{H})]$ $B = \exp[-2.187 + 0.916 \cdot \ln(\pi (\text{DAP})^2 \cdot \text{H})]$	Bosque húmedos tropicales mundiales Bosques secos tropicales mundiales	5-156 cm 5-156 cm
Este estudio	$B = -55.39 + 5.831(\text{DAP}) + 24.64(\text{H}) - 1.658(\text{DAP} \cdot \text{H}) - 4.776 \cdot (\text{H}^2) + 0.2534(\text{DAP} \cdot \text{H}^2) + 0.4202(\text{H}^3) - 0.007398(\text{DAP} \cdot \text{H}^3) - 0.02141(\text{H}^4) + 0.0001497(\text{DAP} \cdot \text{H}^4) + 0.0002943(\text{H}^5)$	Bosques húmedos y semihúmedos de Córdoba, Colombia	>156 cm
10. Hughes (1999)	$B = [-1.839 + 2.116 \ln(\text{DAP})] \cdot \pi$	Bosques secundarios, México	1-10 cm

Convenciones: B: biomasa; DAP: diámetro a la altura del pecho (1.30 m); H: altura total; Hc: altura comercial;  $\rho_i$ : peso específico de la madera (g/cm<sup>3</sup>),  $i$ =valor específico para cada especie, o promedio local cuando no se conoce el valor para la especie. VT: volumen del tallo (m<sup>3</sup>/ha); FEB: factor de expansión de biomasa; ln: logaritmo neperiano.

**Tabla 166.** Modelos para la estimación de biomasa por componente del árbol (Overman *et al.*, 1990).

Componente	Ecuación
BA tronco	$\ln B = -2.881 + 0.956 \ln ((DAP)^2)hp$
BA ramas	$\ln B = -7.765 + 1.304 \ln ((DAP)^2)hp$
BA ramitas	$\ln B = -2.612 + 0.659 \ln ((DAP)^2)hp$
BA hojas	$\ln B = -2.444 + 0.478 \ln ((DAP)^2)hp$

Convenciones: B: biomasa; DAP: diámetro a la altura del pecho (1,30 m); H: altura total;  $\rho$ : peso específico de la madera (g/cm<sup>3</sup>); ln: logaritmo neperiano.

**Análisis de los datos**

Para evaluar la estructura de la vegetación y la variación de la biomasa en los bosques del Sur y Noroccidente de Córdoba, se realizaron distribuciones de frecuencia y se calcularon los estadísticos descriptivos (medidas de tendencia central y de dispersión) de las variables estructurales: densidad (número de individuos), área basal, altura y de la biomasa en cada tipo de bosque, a nivel general y por clase diamétrica. Se probaron los supuestos de normalidad mediante las pruebas de Kolmogorov-Smirnov y Shapiro-Wilk cuyos estadísticos son D y W respectivamente, que se basan en la máxima diferencia entre la distribución acumulada de la muestra y la distribución acumulada hipotética; se contrasta la hipótesis nula Ho: la distribución de los datos de la muestra se ajustan a una distribución normal; si los estadísticos D y W, respectivamente son significativos, entonces la hipótesis Ho debe rechazarse.

Se utilizó el coeficiente de correlación de Spearman (R) para evaluar la predicción que cada modelo hace de los resultados de los otros modelos empleados para la estimación de la biomasa, siguiendo la propuesta de Chave *et al.* (2003) y de esta manera seleccionar el modelo que presente la mayor correlación media con los otros modelos que se están comparando. El coeficiente de correlación de Spearman es una medida de asociación entre dos variables aleatorias continuas. En su cálculo los datos se ordenan y se reemplazan por su respectivo orden, mediante la siguiente expresión:

$$r_{S(x,y)} = 1 - 6 \frac{\sum D^2}{n(n^2 - 1)}$$

Donde D es la diferencia entre los estadísticos de orden de las dos variables a comparar (x-y), n es el número de parejas.

Se realizó un análisis de varianza de una vía no paramétrico (prueba de Kruskal - Wallis) y comparaciones múltiples, con el fin de evaluar las diferencias significativas de las variables estructurales (área basal, altura, peso específico de la madera y número de individuos) y la biomasa total por asociación y por clase diamétrica entre los diferentes tipos de bosque. La prueba de Kruskal-Wallis también conocida como ANOVA por categorías se utilizó para contrastar la hipótesis Ho: las j muestras cuantitativas (categorías) de cada tipo de bosque se obtuvieron de la misma población o de poblaciones con medianas iguales; la prueba para este fin asigna categorías a las observaciones, suma estas categorías separadamente para cada grupo y las compara calculando el estadístico H como se enuncia a continuación:

$$H = \frac{12}{n(n+1)} \sum_{j=1}^J \frac{R_j^2}{n_j} - 3(n+1)$$

Donde H = valor estadístico de la prueba de Kruskal-Wallis, N = tamaño total de la muestra,  $R_j^2$  = sumatoria de los rangos elevados al cuadrado,  $n_j$  = tamaño de la muestra de cada grupo, J = muestras aleatorias. El estadístico H calculado se compara con valores críticos de la distribución ji cuadrado con J-1 grados de libertad. Si la hipótesis nula es cierta y las categorías se han extraído de la misma población (o de poblaciones con medianas idénticas) y todas las muestras tienen puntuaciones de 5 o más, entonces la distribución muestral de H es una aproximación muy cercana de la distribución ji-cuadrado. Si las poblaciones no son diferentes una de la otra, se espera que las sumas de sus categorías sean aproximadamente las mismas. Una vez que se ha rechazado la hipótesis nula con la prueba de Kruskal-Wallis, y se admite que al menos una de las j muestras no pertenece a la misma población, se está interesado en saber cuál de las j muestras tiene una mediana diferente de las demás; para este fin se realizaron las comparaciones múltiples en las cuales se contrastan los rangos medios de todos los pares de grupos mediante el cálculo del estadístico z' para cada comparación entre los grupos (tipos de bosque); se obtiene un valor p asociado con cada

comparación,  $p$  es la probabilidad asociada con  $z'$  (Siegel & Castellan, 1988).

Para el procesamiento general de los datos y la estimación de biomasa y carbono se utilizó el programa Excel; para el análisis Twinspan se usó el programa PcOrd4 (McCune & Mefford, 2006) y para las demás pruebas estadísticas y gráficas se empleó el paquete estadístico STATISTICA (StatSoft Inc, 2002).

## RESULTADOS

### Estimación de la biomasa

Las estimaciones realizadas según los diferentes modelos presentaron diferencias que se corroboraron mediante la prueba de Kruskal-Wallis (H (8, N= 180) =34.53  $p=0.00$ ).

En la figura 375 se muestra la distribución de la biomasa en cada clase diamétrica con cada uno de los nueve modelos empleados para su estimación. Los modelos 1, 2, 5 y 6 presentan las estimaciones de biomasa más altas en todas las clases diamétricas. Los modelos 1 y 2 estiman la biomasa en función del DAP y los modelos 5 y 6 estiman la biomasa en función del DAP y del peso específico de la madera ( $\rho$ ). El modelo 4 que incorpora en sus variables predictivas al DAP y la altura, presentó valores medios de biomasa. Los modelos 7, 8 y 9 involucran como variables predictivas al DAP, la altura y el peso específico de la madera, presentan estimaciones medias que son bastante similares. La menor estimación se obtuvo con el modelo 3, el cual estima la biomasa en función del DAP y altura. Las diferencias entre los modelos pueden deberse a que árboles con el mismo diámetro presentan valores diferentes de altura y/o peso específico de la madera.

Las correlaciones entre los valores de biomasa estimados por los diferentes modelos fueron significativas ( $r^2 > 0.80$  a excepción del modelo 3 con  $r^2 = 0.58$ ). Las estimaciones de biomasa realizadas con los modelos 1, 2, 8 y 9 presentaron las mayores correlaciones en comparación con los modelos restantes (Tabla 167).

Al observar las fórmulas alométricas evaluadas y las altas correlaciones (tabla 167) de sus

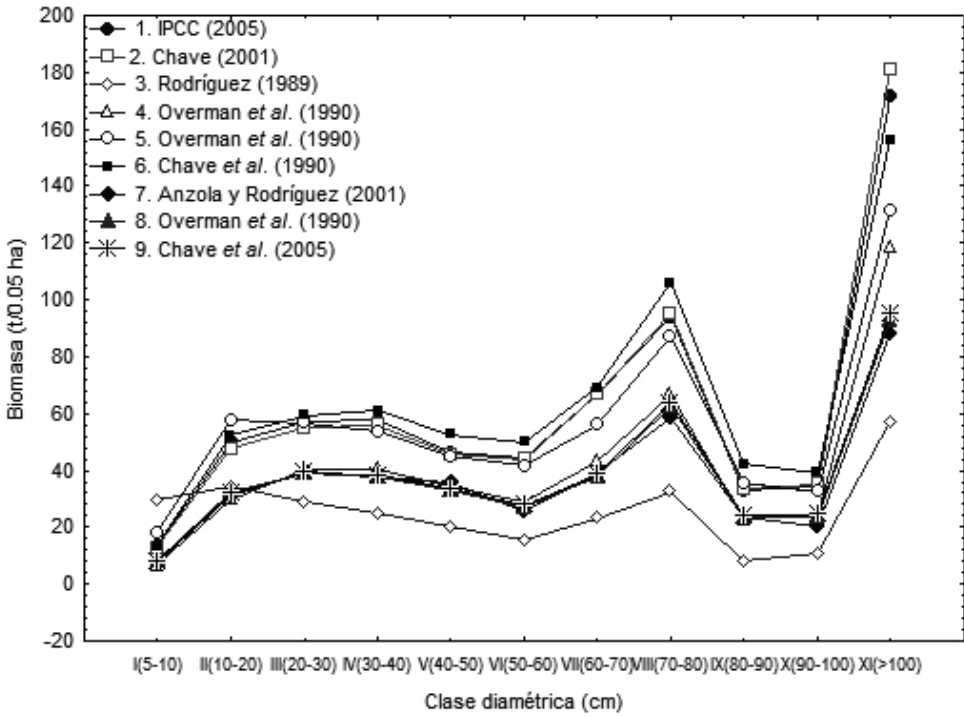
resultados, se llega a la conclusión que las más actuales usan la misma estructura matemática, en otras palabras, se incluyen pequeñas modificaciones a un modelo básico. Al comparar los resultados de las estimaciones para todos los modelos entre elementos pequeños y grandes, se observa que las zonas que representan los resultados para las clases inferiores acumulan menos error que los registros estimados en clases superiores (Figura 376) y presentan tendencias similares. Esta razón impulsa el fortalecimiento de estimaciones que evalúen el problema desde diferentes perspectivas, se requieren otros modelos que permitan minimizar el error existente y así calibrar los resultados obtenidos con las metodologías tradicionales con el fin de obtener registros más precisos.

La mayoría de los modelos utilizan el DAP como variable estimadora de la biomasa; sin embargo, en la literatura se ha resaltado la importancia de incorporar también en los modelos, la altura y el peso específico de la madera, dado que éstos parámetros son responsables de un alto porcentaje de la variación de la biomasa en los bosques tropicales (Chave *et al.*, 2005). Por lo tanto, entre los cuatro modelos que presentaron las mayores correlaciones (modelos 1, 2, 8 y 9), se seleccionaron los modelos 8 y 9 que integran las variables DAP, altura y peso específico de la madera; con la expectativa de que permitieran estimar con mayor precisión la biomasa. Los modelos 8 y 9 presentaron estimaciones muy similares, por consiguiente se seleccionó el 9 bajo el criterio de que fue generado a partir de un mayor número de muestras, es aplicable para una categoría de árboles amplia (5-156cm de DAP) y además, discrimina entre bosques húmedos y secos. Con este modelo se realizaron las estimaciones de todos los árboles con diámetro entre 5 y 156 cm en su DAP, en los diferentes tipos de bosque a lo largo del gradiente de precipitación de Sur a Norte del departamento de Córdoba.

### Estructura, biomasa y carbono por tipo de bosque

#### Estructura y biomasa

La variación de la biomasa y el carbono con respecto a la estructura en los diferentes tipos de bosque, presentó las siguientes particularidades:



**Figura 375.** Distribución de biomasa aérea por clase diamétrica (cm) usando nueve modelos alométricos mencionados en la literatura.

Convenciones:

Código modelo	Modelo
1. IPCC (2005)	$B = \exp[-2.289 + 2.649 \cdot \ln(\text{DAP}) - 0.021 \cdot \ln(\text{DAP}^2)]$
2. Chave <i>et al.</i> (2001)	$\ln B = [-2.19 + 2.54 \cdot \ln(\text{DAP})]$
3. Rodríguez (1989)	$B = \text{Btallo} + \text{Bramas} + \text{Bcorteza} + \text{Bhojas}$
4. Overman <i>et al.</i> (1990)	$\ln = -3.84 + 1.035 \cdot \ln(\text{DAP}^{2.5} \cdot H)$
5. Overman <i>et al.</i> (1990)	$\ln B = [-0.906 + 1.77 \cdot \ln(\text{DAP}^{2.5} \cdot \rho_i)]$
6. Chave <i>et al.</i> (2005)	$B = \rho_i \cdot \exp(-0.667 + 1.784 \cdot \ln(\text{DAP}) + 0.207(\ln(\text{DAP}))^2 - 0.0281(\ln(\text{DAP}))^3)$
7. Anzola y Rodríguez (2001)	$B = VT \cdot \rho_i \cdot \text{FEB ajustado}$
8. Overman <i>et al.</i> (1990)	$\ln B = [-2.904 + 0.993 \cdot \ln(\rho_i (\text{DAP}^2) \cdot H)]$
9. Chave <i>et al.</i> (2005)	$B = \exp[-2.187 + 0.916 \cdot \ln(\rho_i (\text{DAP})^2 \cdot H)]$

La biomasa estimada para los doce tipos de bosque varió entre  $7.39 \pm 1.79$  t/0.05 ha para los levantamientos de la comunidad de *Acalypha* sp. y *Guazuma ulmifolia* y  $41.15 \pm 21.81$  t/0.05 ha para la asociación *Macrolobio ischnocalycis* - *Peltogynnetum purpurea*. El carbono almacenado en la biomasa fluctúa entre 3.34 y 18.72 t/0.05 ha para estos tipos de bosque. Estas estimaciones tuvieron una incertidumbre de estimación asociada del 17.41%.

A partir de los resultados obtenidos en las estimaciones de biomasa y carbono, se organizaron me-

dante la regla de Sturges las siguientes clases de variación de los datos con respecto a las reservas de biomasa y carbono: *muy altas*, *altas*, *medias*, *bajas* y *muy bajas* (Tabla 168). En la clase *muy altas* (>36.79-44.14) se ubican las asociaciones *Prestoeo decurrentis* - *Trichillietum poeppigi*, *Macrolobio ischnocalycis* - *Peltogynnetum purpurea* con valores de biomasa que oscilan entre 40.83 y 41.15 t/0.05 ha y de carbono entre 18.44 y 18.9 t/0.05 ha. Los bosques de las asociaciones *Protio aracouchini* - *Violetoletum elongatae* y *Tovomito weddellianae* - *Quercetum humboldtii* pertenecen a la clase *altas* (>29.44-36.79), dado que

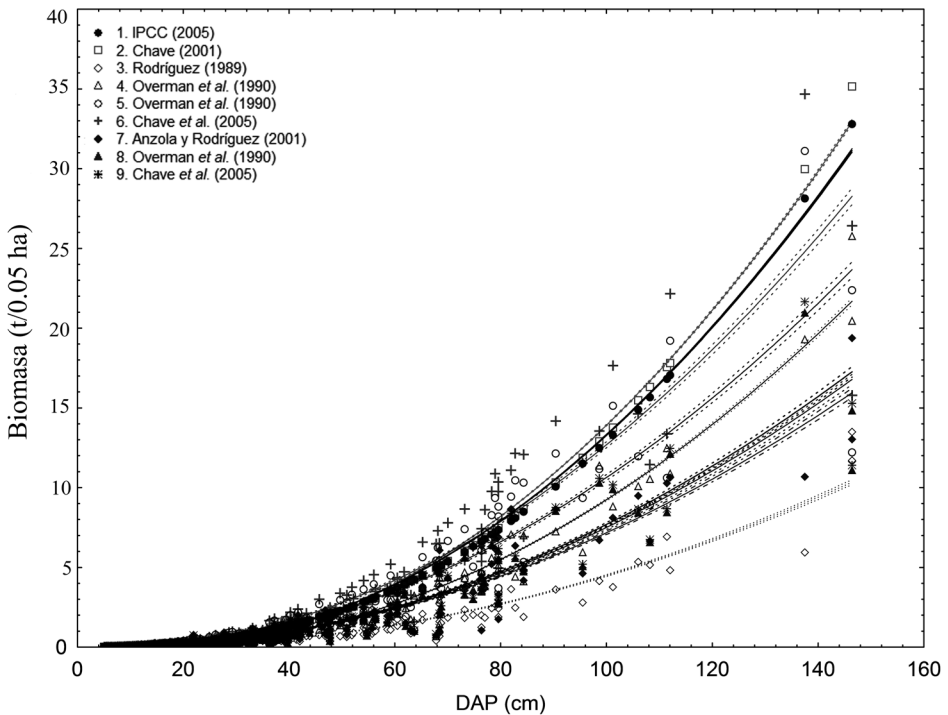
presentan valores de biomasa entre 30.01 y 34.33 t/0.05ha y carbono entre 13.78 y 15.76 t/0.05ha. Los bosques de las asociaciones Trichilio hirtae-Schizolobietum parahibi y Cappari odoratissimatis - Cavanillesietum platanifoliae presentan valores de biomasa de 24.06 y 22.45 y t/0.05ha,

respectivamente y corresponden a la clase reservas de biomasa *medias* (>22.09-29.44). En la categoría *bajas* (>14.74-22.09) se ubicaron las asociaciones Cariniano pyriformis - Pentaplarietum doroteae y Jacarando copaiaie - Pouterietum multiflorae y Jacarando copaiaie - Pouterietum multi-

**Tabla 167.** Matriz de correlación de Spearman de los nueve modelos utilizados para la estimación de biomasa aérea.

Los valores corresponden al coeficiente de correlación. Se emplearon las estimaciones de biomasa aérea realizadas en los bosques del Sur de Córdoba, para hacer las correlaciones. Los modelos y su referencia se enuncian en la tabla 168. La última fila corresponde al valor medio de correlación de cada modelo.

	1. IPCC (2005)	2. Chave (2001)	3. Rodríguez (1989)	4. Overman (1990)	5. Overman <i>et al.</i> (1990)	6. Chave (2005)	7. Anzola y Rodríguez (2001)	8. Overman <i>et al.</i> (1990)	9. Chave <i>et al.</i> (2005)
1. IPCC (2005)	1.000	1.000	0.591	0.991	0.909	0.982	0.955	0.964	0.964
2. Chave (2001)		1.000	0.591	0.991	0.909	0.982	0.955	0.964	0.964
3. Rodríguez (1989)			1.000	0.536	0.718	0.527	0.555	0.564	0.564
4. Overman (1990)				1.000	0.873	0.991	0.964	0.973	0.973
5. Overman <i>et al.</i> (1990)					1.000	0.882	0.909	0.900	0.900
6. Chave (2005)						1.000	0.973	0.964	0.964
7. Anzola y Rodríguez (2001)							1.000	0.991	0.991
8. Overman <i>et al.</i> (1990)								1.000	1.000
9. Chave <i>et al.</i> (2005)									1.000
Correlación media	0.919	0.919	0.581	0.911	0.875	0.908	0.911	0.915	0.915



**Figura 376.** Biomasa estimada para individuos de un diámetro dado usando nueve modelos disponibles en la literatura.

florae con valores de biomasa entre 18.54 y 20.1 t/0.05ha y de carbono entre 8.59 y 9.04 t/0.05ha. En la categoría *muy bajas* (7.39-14.74) se encuentran los bosques de asociaciones Marilo laxiflorae - Pentaclethretum macrolobae, Mayno grandifoliae - Astrocaryetum malybo, Cordietum proctato - panamensis y la comunidad de *Acalypha* sp. y *Guazuma ulmifolia* cuya biomasa varía entre 7.39 y 14.09 t/0.05ha y el carbono varía entre 3.34 y 6.58 t/0.05ha.

A partir de la variación observada en la biomasa y en el carbono entre los tipos de bosque, se probó la significancia estadística de estas diferencias mediante análisis de varianza (prueba de Kruskal-Wallis). Se encontró alta variación en la densidad, área basal, altura, peso específico de la madera y biomasa entre los tipos de bosque como se evidenció con los resultados de las comparaciones de categorías y de medianas mediante las pruebas estadísticas (Tabla 168 y Figura 377). Las diferencias indican que las características de los tipos de bosque (estructura, composición florística, grado de disturbio) están relacionadas con la cantidad de biomasa almacenada en la vegetación. En la Figura 377 se observa la

variación de los los parámetros de la estructura y de la biomasa entre los tipos de bosque.

En cuanto al número de individuos, se observa que algunos bosques se alejan considerablemente del promedio general dado que tienen un número alto de individuos, esta situación la muestran los bosques de las asociación Mayno grandifoliae - Astrocaryetum malybo con 157 individuos/0.05ha en promedio. Las asociaciones Cordietum proctato - panamensis; Tovomito weddellianae - Quercetum humboldtii y Jacarando copaiae - Pouterietum multiflorae también muestran alto número de individuos con valores de 136, 125 y 122 individuos/0.05ha. En contraste, el tipo de bosque Trichilio hirtae - Schizolobietum parahibi tiene el número de individuos más bajo (61 individuos/0.05ha).

La altura de los individuos leñosos varía entre 0.5 m y 40 m en todos los tipos de bosque, y presenta valores medios entre 6.48 m y 9.54 m. Se nota claramente que los bosques pertenecientes a las asociaciones Mayno grandifoliae - Astrocaryetum malybo, Cariniano pyriformis - Pentaplarietum doroteae, Cordietum proctato - panamensis y la

**Tabla 168.** Valores medios de las variables de la estructura, de la biomasa y del carbono en los diferentes tipos de bosque comparados mediante análisis de varianza basado en categorías (Kruskal-Wallis).

Tipo de bosque	Densidad (Ind/0.05ha)	Área basal (m <sup>2</sup> /0.05ha)	Altura (m)	ρ (g/cm <sup>3</sup> )	Biomasa (t/0.05ha)	RCB (t/0.05ha)	Clase de RCB
Prestoeo decurrentis - Trichillietum poeppigi	97.75	5.66	9.54	0.58	41.04±16.77	18.72±7.69	<i>Muy alta</i>
Macrolobio ischnocalycis - Peltogynetum purpurea	115.00	4.96	9.51	0.61	41.15±21.81	18.9±9.91	<i>Muy alta</i>
Tovomito weddellianae - Quercetum humboldtii	125.00	3.59	8.15	0.62	30.01±5.15	13.78±2.38	<i>Alta</i>
Protio aracouchini - Viroletum elongatae	109.00	4.17	8.88	0.57	34.33±11.73	15.66±5.53	<i>Alta</i>
Trichilio hirtae- Schizolobietum parahibi	60.67	3.09	9.44	0.59	24.06±23.26	10.83±10.44	<i>Media</i>
Trichilio hirtae- Schizolobietum parahibi-1	93	4.95	8.1	0.64	46.05±34.72	20.65±15.66	
Trichilio hirtae- Schizolobietum parahibi-2	44.50	2.17	10.06	0.57	13.06±4.05	5.92±1.84	
Cappari odoratissimatis - Cavanillesietum platanifoliae	100.33	3.34	8.29	0.62	22.45±11.69	10.12±5.27	<i>Media</i>
Cariniano pyriformis - Pentaplarietum doroteae	122.00	3.23	6.48	0.64	20.1±2.05	9.04±2	<i>Baja</i>
Jacarando copaiae - Pouterietum multiflorae	122.67	2.48	8.01	0.60	18.54±7.94	8.59±3.72	<i>Baja</i>
Jacarando copaiae - Pouterietum multiflorae-1	142.00	2.68	6.82	0.59	12.52±0.76	5.72±0.35	
Jacarando copaiae - Pouterietum multiflorae-2	113.00	2.39	8.61	0.60	21.545±8.48	10.03±3.92	
Marilo laxiflorae - Pentaclethretum macrolobae	97.00	2.19	9.28	0.59	14.09±2.25	6.58±1.08	<i>Muy baja</i>
Mayno grandifoliae - Astrocaryetum malybo	157.00	3.60	6.49	0.62	13.73±2.01	6.22±2	<i>Muy baja</i>
Cordietum proctato - Cordietum panamensis	136.00	2.02	7.13	0.59	10.51±5.88	4.7±2.63	<i>Muy baja</i>
<i>Acalypha</i> sp. y <i>Guazuma ulmifolia</i>	79.67	2.26	7.19	0.54	7.39±1.79	3.34±0.84	<i>Muy baja</i>
<i>Estadístico H (I1, N=47)</i>	29.57	27.88	31.79	31.35	35.76	35.52	
<i>Nivel de significancia (p)</i>	0.0054	0.0094	0.0026	0.003	0.0006	0.0007	

Convenciones: Ind= número de individuos; ρ= peso específico de la madera; RCB= reserva de carbono en la biomasa aérea; *Muy baja* (7.39-14.74); *Baja* (14.74-22.09); *Media* (22.09-29.44); *Alta* (29.44-36.79) y *Muy alta* (36-79-44.14). Los valores corresponden a levantamientos de 0.05 ha.

comunidad de *Acalypha* sp. y *Guazuma ulmifolia* se alejan del conjunto de bosques, dado que presentan los menores valores de altura entre 6.48 y 7.19m; mientras que los bosques de las asociaciones Prestoeo decurrentis - Trichillietum poeppigi, Macrolobio ischnocalycis - Peltogynetum purpurea y Trichilio hirtae - Schizolobietum parahibi, exhiben valores ligeramente mayores al conjunto en general que varían entre 9.51, 9.54 y 9.44 m.

El peso específico de la madera tiene menor variación, pero se pueden determinar también dos grupos de bosques con niveles altos y bajos de esta variable. Es muy particular el caso del bosque de la asociación Cariniano pyriformis - Pentaplarietum doroteae, que muestra los valores más altos (0.64 g/cm<sup>3</sup>), lo cual está relacionado con el alto número de individuos de la especie *Astrocaryum malybo* que presenta valores altos de peso específico de la madera (0.727 g/cm<sup>3</sup>). La comunidad de *Acalypha* sp. y *Guazuma ulmifolia* y la asociación Protio aracouchini - Viroletum elongatae mostraron los valores más bajos de esta variable (0.54 y 0.57 g/cm<sup>3</sup>, respectivamente).

Con relación al área basal, se diferencian claramente los bosques de las asociaciones Prestoeo decurrentis - Trichillietum poeppigi, Macrolobio ischnocalycis - Peltogynetum purpurea, Protio aracouchini - Viroletum elongatae y Tovomito weddellianae - Quercetum humboldtii, los cuales presentan los valores mayores de área basal entre 3.59 y 5.66 m<sup>2</sup>/0.05ha. En contraste, los bosques de los tipos Marilo laxiflorae - Pentaclethretum macrolobae, Cordietum proctato - Cordietum panamensis y *Acalypha* sp. y *Guazuma ulmifolia* presentaron la menor área basal con valores comprendidos entre 2.02 y 2.19 m<sup>2</sup>/0.05ha.

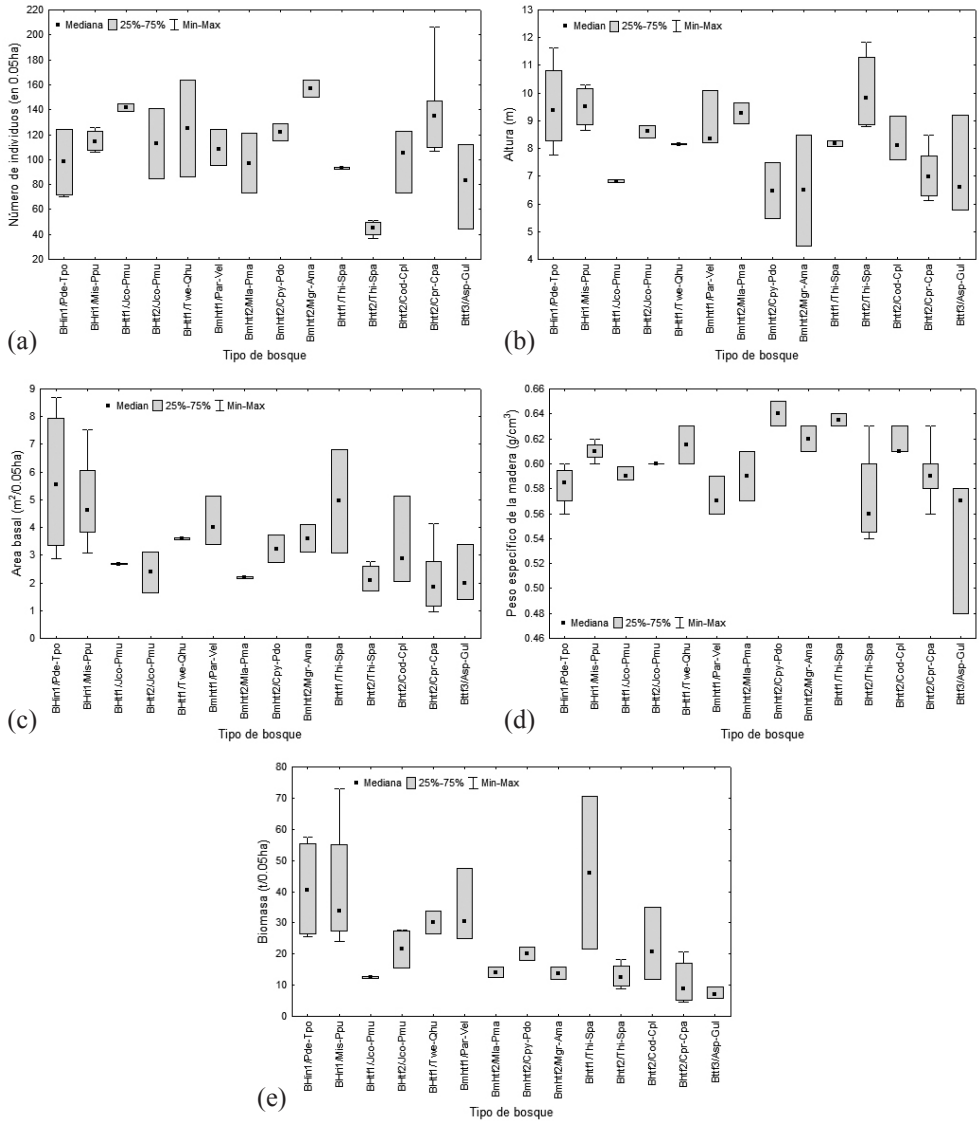
La biomasa muestra alta variación como resultado de la variabilidad conjunta de los parámetros de la estructura antes descritos. Los bosques con *altas* reservas de biomasa y carbono tienen valores altos de área basal y altura, este es el caso para las asociaciones Prestoeo decurrentis - Trichillietum poeppigi, Macrolobio ischnocalycis - Peltogynetum purpurea y Protio aracouchini - Viroletum elongatae; la asociación Tovomito weddellianae - Quercetum humboldtii tiene valores relativamente altos de área basal y número de individuos. Los bosques con reservas de biomasa y carbono *muy bajas* tienen valores bajos de área

basal y altura como en el caso de las asociaciones Cordietum proctato - Cordietum panamensis y Marilo laxiflorae - Pentaclethretum macrolobae; presentan alto número de individuos como en el caso de Mayno grandifoliae - Astrocaryetum malybo y Cordietum proctato - Cordietum panamensis y bajos valores de área basal, altura, peso específico de la madera y número de individuos en el caso de la comunidad de *Acalypha* sp. y *Guazuma ulmifolia*.

Se probó la significancia estadística de las diferencias en las variables de la estructura y de la biomasa entre los tipos de bosque, mediante comparación de categorías usando la prueba Kruskal-Wallis por clase diamétrica, para determinar cuáles clases varían. Se encontraron diferencias significativas en la densidad, área basal, altura y biomasa en las clases diamétricas (2.5-70 cm). La ausencia de árboles de gran porte en algunos tipos de bosque no permitió determinar las diferencias entre las variables en la clase diamétrica mayor [>70 cm]. (Tabla 169).

En la tabla 170 se muestra la distribución de las variables que se asocian con la estructura de la vegetación (altura, área basal, número de individuos), el peso específico de la madera, la biomasa y el carbono por clase diamétrica en los diferentes tipos de bosque. Los datos de altura corresponden a valores mínimo y máximo; el peso específico es el valor promedio por asociación. Los valores de área basal, densidad, biomasa y carbono corresponden al promedio de cada asociación el cual se obtuvo al sumar todos los individuos de cada levantamiento y promediar los levantamientos de cada asociación. Además se enuncia la participación en porcentaje de las variables en cada clase de diámetro, para cada tipo de bosque. Se resaltan las particularidades.

Esta distribución indica variación de la estructura considerable a lo largo del gradiente Sur - Noroccidente de Córdoba, que conduce a su vez a una alta variación en la biomasa aérea de los bosques asociados a dicho gradiente. La estructura de la vegetación entre los tipos de bosque varió en términos de distribución de clases diamétricas, las reservas de biomasa y el carbono. La diferencia entre presencia y ausencia de individuos de gran porte (clases diamétricas y estratos superiores) entre los diferentes tipos de bosque está relacionada



Convenciones

Código	Asociación	PMA (mm)	Código	Asociación	PMA (mm)
BHn1/Pde-Tpo	Prestoee decurrentis-Trichillietum poeppigi	2862	Bmht2/Cpy-Pdo	Cariniano pyriformis-Pentaplarietum doroteae	1818
BHn1/Mis-Ppu	Macrolobio ischnocalycis-Peltogynetum purpurea	2845	Bmht2/Mgr-Ama	Mayno grandifoliae-Astrocaryetum malybo	1839
BHt2/Jco-Pmu	Jacarando copaiaae-Pouterietum multiflorae	2344	Bhtf1/Thi-Spa	Trichilio hirtae-Schizolobietum parahibi	1464
BHt1/Twe-Qhu	Tovomito weddellianaee-Quercetum humboldtii	2047	Bht2/Cod-Cpl	Cappari odoratissimatis-Cavanillesietum platanifoliae	1474
Bmht1/Par-Vel	Protio aracouchini-Viroletum elongatae	2021	Bht2/Cpr-Cpa	Cordietum proctato- panamensis	1455
Bmht2/Mla-Pma	Marilo laxiflorae-Pentaclethretum macrolobae	2096	Bt3/Asp-Gul	<i>Acalypha sp.</i> y <i>Guazuma ulmifolia</i>	1382

Figura 377. Variación de parámetros de la estructura y de biomasa en los tipos de bosque. (a) Número de individuos, (b) Altura, (c) Área basal, (d) Peso específico de la madera y (e) Biomasa.

**Tabla 169.** Comparaciones de las variables de la estructura y la biomasa por clase diamétrica entre tipos de bosque.

Análisis de varianza basado en categorías (Kruskal-Wallis). H: estadístico de la prueba, *p*: nivel de significancia estadística;  $\rho$ : peso específico de la madera. ns: no significativa.

Clase diamétrica (cm)	Variable	Prueba de Kruskal-Wallis	
I (2.5-10)	Altura (m)	H ( 11, N= 3120) =283.9125 p =0.000	
	$\rho$ (g/cm <sup>3</sup> )	H ( 11, N= 3120) =235.6824 p =0.000	
	Área basal (m <sup>2</sup> )	H ( 11, N= 3120) =334.6173 p =0.000	
	Número de individuos	H ( 11, N= 47) =27.32425 p =.0041	
	Biomasa (kg)	H ( 11, N= 3120) =204.3114 p =0.000	
II (10-30)	Altura (m)	H ( 11, N= 1206) =81.61550 p =.0000	
	$\rho$ (g/cm <sup>3</sup> )	H ( 11, N= 1206) =92.78781 p =.0000	
	Área basal (m <sup>2</sup> )	H ( 11, N= 1206) =16.19571 p =.1340	ns
	Número de individuos	H ( 11, N= 47) =24.35153 p =.0113	
	Biomasa (kg)	H ( 11, N= 1206) =50.99291 p =.0000	
III (30-50)	Altura (m)	H ( 11, N= 222) =45.57259 p =.0000	
	$\rho$ (g/cm <sup>3</sup> )	H ( 11, N= 222) =27.96300 p =.0033	
	Área basal (m <sup>2</sup> )	H ( 11, N= 222) =23.07745 p =.0172	
	Número de individuos	H ( 11, N= 47) =8.796266 p =.6407	ns
	Biomasa (kg)	H ( 11, N= 222) =47.56937 p =.0000	
IV (50-70)	Altura (m)	H ( 11, N= 61) =20.17633 p =.0430	
	$\rho$ (g/cm <sup>3</sup> )	H ( 11, N= 61) =31.62133 p =.0009	
	Área basal (m <sup>2</sup> )	H ( 11, N= 61) =6.122159 p =.8651	ns
	Número de individuos	H ( 11, N= 47) =19.69893 p =.0496	ns
	Biomasa (kg)	H ( 11, N= 61) =29.61410 p =.0018	ns
V (70-100)	Altura (m)	H ( 11, N= 37) =17.84457 p =.0853	ns
	$\rho$ (g/cm <sup>3</sup> )	H ( 11, N= 37) =18.21889 p =.0766	ns
	Área basal (m <sup>2</sup> )	H ( 11, N= 37) =13.87062 p =.2402	ns
	Número de individuos	H ( 11, N= 47) =21.87487 p =.0254	
	Biomasa (kg)	H ( 11, N= 37) =18.72262 p =.0663	ns

con la variación en las reservas de biomasa y carbono observadas. Por ejemplo la comunidad de *Acalypha* sp. y *Guazuma ulmifolia* presenta el menor valor de biomasa (7.39 t/0.05 ha), lo cual está en relación con la ausencia de árboles mayores a 100 cm de diámetro y la distribución de la biomasa principalmente en las clases diamétricas inferiores; la clase II (10-30) contiene la mayor proporción de biomasa con un valor de 38.97%. En contraste la asociación *Trichilio hirtae*- *Schizolobium parahibi\_1* se caracteriza por presentar altos valores de biomasa (41.15 t/0.05 ha), la cual se concentra principalmente en la clase diamétrica VI (>100) con un promedio de 25.83 t/0.05 ha (62.78%).

En los tipos de bosque se observaron diferencias en la distribución de clases de diámetro, las asociaciones *Jacarando copaiae* - *Pouterietum multiflorae\_1*, *Jacarando copaiae* - *Pouterietum multiflorae\_2*, *Marilo laxiflorae* - *Pentaclethretum macrolobae*, *Mayno grandifoliae* - *Astrocaryetum malybo*, *Cariniano pyriformis* - *Pentaplarietum doroteae* y

*Acalypha* sp. y *Guazuma ulmifolia* no presentan individuos en la clase VI (>100cm). A diferencia de éstas, las asociaciones *Prestoeo decurrentis* - *Trichillietum poeppigi* y *Macrolobio ischnocalycis* - *Peltogynetum purpurea* presentan el número más alto de individuos promedio en esta clase diamétrica (2 individuos en 0.05ha); estos resultados muestran que estas asociaciones presentan la mayor área basal y biomasa en esta clase, en comparación con las demás asociaciones.

Las asociaciones *Tovomito weddellianae* - *Quercetum humboldtii*, *Protio aracouchini* - *Violetum elongatae* y *Cariniano pyriformis* - *Pentaplarietum doroteae* presentan los mayores valores de área basal en las clases IV (50-70cm) y V (70-100cm), que conduce a que presenten el segundo valor de biomasa más alto. En contraste las asociaciones *Mayno grandifoliae* - *Astrocaryetum malybo*, *Marilo laxiflorae* - *Pentaclethretum macrolobae* y *Jacarando copaiae* - *Pouterietum multiflorae* tienen los valores más altos de área basal en la clase diamétrica II (10-30cm).

**Tabla 170.** Distribución de las variables de la estructura de la vegetación, biomasa y carbono por clase diamétrica en los tipos de bosques caracterizados en el sector Sur y Noroccidente del departamento de Córdoba.

Asociación	Variable	Clase diamétrica						Total
		I (2.5-10)	II (10-30)	III (30-50)	IV (50-70)	V (70-100)	VI (>100)	
Prestoeo decurrentis - Trichillietum poeppigi	Altura (m)	2-20	4-30	4-30	10-25	20-35	27-35	2-35
	Peso específico	0.59	0.57	0.57	0.43	0.56	0.49	0.58
	Densidad	65	23.5	4.25	2	1.5	1.5	97.75
	Densidad relativa (%)	66.5	24.04	4.35	2.05	1.53	1.53	100
	Área basal (m <sup>2</sup> /0.05ha)	0.17	0.55	0.5	0.58	0.87	2.99	5.65
	Área basal relativa (%)	3.03	9.65	8.83	10.28	15.3	52.9	100
	Biomasa (t/0.05ha)	0.44	2.8	3.46	3.16	9	22.18	41.03
	Biomasa relativa (%)	1.06	6.83	8.42	7.69	21.93	54.06	100
	Carbono (t/0.05ha)	0.18	1.29	1.61	1.45	4.07	10.12	18.72
Carbono relativo (%)	0.96	6.92	8.59	7.75	21.74	54.04	100	
Macrolobio ischnocalycis - Peltogynetum purpurea	Altura (m)	2-22	6-20	5-25	20-22	20-28	26-31	2-31
	Peso específico	0.61	0.61	0.6	0.64	0.8	0.66	0.61
	Densidad	78.25	28.5	4.75	1	0.75	1.75	115
	Densidad relativa (%)	68.04	24.78	4.13	0.87	0.65	1.52	100
	Área basal (m <sup>2</sup> /0.05ha)	0.21	0.64	0.58	0.24	0.38	2.91	4.96
	Área basal relativa (%)	4.2	12.83	11.75	4.81	7.61	58.79	100
	Biomasa (t/0.05ha)	0.64	3.52	4.34	2	4.82	25.83	41.15
	Biomasa relativa (%)	1.55	8.55	10.55	4.85	11.72	62.78	100
	Carbono (t/0.05ha)	0.27	1.63	2.03	0.92	2.21	11.84	18.9
Carbono relativo (%)	1.4	8.63	10.74	4.86	11.71	62.65	100	
Tovomito weddelianae - Quercetum humboldtii	Altura (m)	1.8-12	5-20	10-27	18-27	18-27	0	1.8-27
	Peso específico	0.6	0.63	0.6	0.78	0.72	0	0.61
	Densidad	77	36	7	3	2	0	125
	Densidad relativa (%)	61.6	28.8	5.6	2.4	1.6	0	100
	Área basal (m <sup>2</sup> /0.05ha)	0.21	0.81	0.83	0.83	0.9	0	3.59
	Área basal relativa (%)	5.96	22.68	23.1	23.14	25.12	0	100
	Biomasa (t/0.05ha)	0.48	4.19	6.43	9.71	9.19	0	30
	Biomasa relativa (%)	1.59	13.98	21.44	32.36	30.64	0	100
	Carbono (t/0.05ha)	0.19	1.94	2.97	4.46	4.23	0	13.79
Carbono relativo (%)	1.37	14.07	21.52	32.39	30.65	0	100	
Protio aracouchini - Violetum elongatae	Altura (m)	2-12	3-25	4-25	20-30	24-30	30-35	2-35
	Peso específico	0.58	0.56	0.54	0.59	0.58	0.58	0.57
	Densidad	66.33	30	7.33	3	1.67	0.67	109
	Densidad relativa (%)	60.86	27.52	6.73	2.75	1.53	0.61	100
	Área basal (m <sup>2</sup> /0.05ha)	0.16	0.76	0.75	0.89	1	0.61	4.17
	Área basal relativa (%)	3.9	18.14	18.09	21.32	23.9	14.65	100
	Biomasa (t/0.05ha)	0.37	3.53	5.01	8.18	9.85	7.4	34.33
	Biomasa relativa (%)	1.08	10.28	14.6	23.82	28.69	21.54	100
	Carbono (t/0.05ha)	0.14	1.63	2.29	3.78	4.44	3.38	15.66
Carbono relativo (%)	0.91	10.39	14.62	24.13	28.36	21.59	100	
Jacarando copaiae - Pouterietum multiflorae_1	Altura (m)	1.7-10	4-25	3.5-25	5-16	0	0	1.7-25
	Peso específico	0.59	0.6	0.5	0.63	0	0	0.59
	Densidad	95	39	6	2	0	0	142
	Densidad relativa (%)	66.9	27.46	4.23	1.41	0	0	100
	Área basal (m <sup>2</sup> /0.05ha)	0.2	1.06	0.79	0.63	0	0	2.68
	Área basal relativa (%)	7.52	39.44	29.56	23.49	0	0	100
	Biomasa (t/0.05ha)	0.38	4.96	4.79	2.38	0	0	12.52
	Biomasa relativa (%)	3.03	39.63	38.3	19.04	0	0	100
	Carbono (t/0.05ha)	0.13	2.28	2.21	1.1	0	0	5.72
Carbono relativo (%)	2.34	39.81	38.67	19.18	0	0	100	

**Continuación Tabla 170.** Distribución de las variables de la estructura de la vegetación, biomasa y carbono por clase diamétrica en los tipos de bosques caracterizados en el sector Sur y Noroccidente del departamento de Córdoba.

Asociación	Variable	Clase diamétrica						Total
		I (2.5-10)	II (10-30)	III (30-50)	IV (50-70)	V (70-100)	VI (>100)	
Jacarando copaiaie - Pouterietum multiflorae_2	Altura (m)	0.5-15	2-39	14-30	24	30-32	0	0.5-39
	Peso específico	0.61	0.6	0.57	0.47	0.68	0	0.6
	Densidad	76	29.5	5.5	0.5	1.5	0	113
	Densidad relativa (%)	67.26	26.11	4.87	0.44	1.33	0	100
	Área basal (m <sup>2</sup> /0.05ha)	0.17	0.74	0.68	0.11	0.68	0	2.38
	Área basal relativa (%)	7.03	31.14	28.55	4.83	28.46	0	100
	Biomasa (t/0.05ha)	0.38	4.9	6.03	0.83	9.4	0	21.54
	Biomasa relativa (%)	1.77	22.76	27.99	3.86	43.63	0	100
	Carbono (t/0.05ha)	0.14	2.3	2.81	0.38	4.39	0	10.03
Carbono relativo (%)	1.44	22.9	28.05	3.82	43.79	0	100	
Marilo laxiflorae - Pentaclethretum macrolobae	Altura (m)	2.5-17	4-25	15-25	27	20	0	2.5-27
	Peso específico	0.59	0.57	0.58	0.64	0.65	0	0.59
	Densidad	54	38	3.5	0.5	1	0	97
	Densidad relativa (%)	55.67	39.18	3.61	0.52	1.03	0	100
	Área basal (m <sup>2</sup> /0.05ha)	0.17	1.06	0.35	0.15	0.46	0	2.19
	Área basal relativa (%)	7.71	48.58	15.77	6.84	21.11	0	100
	Biomasa (t/0.05ha)	0.42	5.57	2.56	1.67	3.87	0	14.09
	Biomasa relativa (%)	2.97	39.52	18.14	11.88	27.49	0	100
	Carbono (t/0.05ha)	0.18	2.58	1.19	0.79	1.84	0	6.57
Carbono relativo (%)	2.7	39.26	18.12	11.96	27.96	0	100	
Mayno grandifoliae - Astrocaryetum malybo	Altura (m)	1.7-8	3-18	12-20	17-20	25-25	0	1.7-25
	Peso específico	0.67	0.58	0.52	0.42	0.34	0	0.62
	Densidad	84	65	5	2	1	0	157
	Densidad relativa (%)	53.5	41.4	3.18	1.27	0.64	0	100
	Área basal (m <sup>2</sup> /0.05ha)	0.36	1.75	0.45	0.55	0.5	0	3.6
	Área basal relativa (%)	9.87	48.6	12.53	15.18	13.82	0	100
	Biomasa (t/0.05ha)	0.62	5.07	2.57	2.7	2.77	0	13.73
	Biomasa relativa (%)	4.49	36.97	18.69	19.64	20.21	0	100
	Carbono (t/0.05ha)	0.27	2.32	1.19	1.21	1.22	0	6.22
Carbono relativo (%)	4.39	37.34	19.08	19.54	19.65	0	100	
Cariniano pyriformis - Pentaplarietum doroteae	Altura (m)	1.3-10	3-20	18-20	18-28	25-30	0	1.3-30
	Peso específico	0.67	0.61	0.54	0.57	0.41	0	0.64
	Densidad	75	39	3	3	2	0	122
	Densidad relativa (%)	61.48	31.97	2.46	2.46	1.64	0	100
	Área basal (m <sup>2</sup> /0.05ha)	0.25	0.78	0.28	0.86	1.06	0	3.23
	Área basal relativa (%)	7.72	24.22	8.69	26.63	32.74	0	100
	Biomasa (t/0.05ha)	0.37	3.04	1.81	7.09	7.8	0	20.1
	Biomasa relativa (%)	1.84	15.11	8.99	35.25	38.81	0	100
	Carbono (t/0.05ha)	0.16	1.37	0.83	3.15	3.53	0	9.04
Carbono relativo (%)	1.78	15.1	9.21	34.86	39.05	0	100	
Trichilio hirtae- Schizolobietum parahibi_1	Altura (m)	1-12	5-20	10-25	10-27	18-28	30-40	1-40
	Peso específico	0.71	0.63	0.54	0.51	0.9	0.41	0.66
	Densidad	66	13	9.5	2.5	1	1	93
	Densidad relativa (%)	70.97	13.98	10.22	2.69	1.08	1.08	100
	Área basal (m <sup>2</sup> /0.05ha)	0.18	0.37	0.93	0.7	0.51	2.26	4.95
	Área basal relativa (%)	3.67	7.48	18.8	14.06	10.38	45.6	100
	Biomasa (t/0.05ha)	0.47	2.09	5.81	4.89	4.84	27.95	46.05
	Biomasa relativa (%)	1.02	4.53	12.62	10.61	10.52	60.7	100
	Carbono (t/0.05ha)	0.19	0.93	2.61	2.17	2.16	12.57	20.64
Carbono relativo (%)	0.92	4.51	12.65	10.53	10.47	60.92	100	

**Continuación Tabla 170.** Distribución de las variables de la estructura de la vegetación, biomasa y carbono por clase diamétrica en los tipos de bosques caracterizados en el sector Sur y Noroccidente del departamento de Córdoba.

Asociación	Variable	Clase diamétrica						Total
		I (2.5-10)	II (10-30)	III (30-50)	IV (50-70)	V (70-100)	VI (>100)	
Trichilio hirtae-Schizolobietum parahibi_2	Altura (m)	1.5-13	4-22	12-24	15-27	17-26	28	1.5-28
	Peso específico	0.61	0.56	0.52	0.56	0.4	0.6	0.57
	Densidad	15.25	21.25	5.5	1.5	0.75	0.25	44.5
	Densidad relativa (%)	34.27	47.75	12.36	3.37	1.69	0.56	100
	Área basal (m <sup>2</sup> /0.05ha)	0.04	0.55	0.59	0.41	0.37	0.22	2.17
	Área basal relativa (%)	1.75	25.28	27.03	19.09	16.87	9.99	100
	Biomasa (t/0.05ha)	0.09	2.15	3.25	3.11	2.11	2.36	13.06
	Biomasa relativa (%)	0.66	16.43	24.89	23.82	16.16	18.05	100
	Carbono (t/0.05ha)	0.03	0.98	1.48	1.41	0.95	1.07	5.91
Carbono relativo (%)	0.59	16.5	24.95	23.85	16.06	18.05	100	
Cordietum proctato - Cordietum panamensis	Altura (m)	0.5-28	1.6-24	1.6-30	15-26	20-30	26-28	0.5-30
	Peso específico	0.6	0.56	0.56	0.43	0.51	0.5	0.59
	Densidad	105.18	25.45	4.27	0.73	0.18	0.18	136
	Densidad relativa (%)	77.34	18.72	3.14	0.53	0.13	0.13	100
	Área basal (m <sup>2</sup> /0.05ha)	0.19	0.64	0.51	0.21	0.1	0.37	2.02
	Área basal relativa (%)	9.38	31.79	25.41	10.5	4.74	18.18	100
	Biomasa (t/0.05ha)	0.58	3.16	2.93	1.17	0.7	1.98	10.51
	Biomasa relativa (%)	5.47	30.03	27.88	11.12	6.66	18.83	100
	Carbono (t/0.05ha)	0.22	1.43	1.32	0.53	0.32	0.88	4.7
Carbono relativo (%)	4.59	30.5	28.16	11.25	6.72	18.78	100	
Cappari odoratissimatis - Cavanillesietum platanifoliae	Altura (m)	1-18	2.5-25	14-28	15	25-28	20-28	1-28
	Peso específico	0.62	0.63	0.63	0.58	0.45	0.53	0.62
	Densidad	67.33	25.67	5.33	0.33	0.67	1	100.33
	Densidad relativa (%)	67.11	25.58	5.32	0.33	0.66	1	100
	Área basal (m <sup>2</sup> /0.05ha)	0.15	0.64	0.66	0.08	0.49	1.32	3.34
	Área basal relativa (%)	4.44	19.27	19.83	2.32	14.53	39.61	100
	Biomasa (t/0.05ha)	0.49	3.9	5.31	0.41	3.1	9.25	22.45
	Biomasa relativa (%)	2.18	17.38	23.63	1.81	13.79	41.2	100
	Carbono (t/0.05ha)	0.19	1.76	2.4	0.18	1.4	4.18	10.12
Carbono relativo (%)	1.92	17.39	23.77	1.82	13.79	41.31	100	
Acalypha sp. y Guazuam ulmifolia	Altura (m)	1.5-16	2.5-23	6-16	7-18	8	0	1.5-23
	Peso específico	0.59	0.49	0.44	0.5	0.54	0	0.54
	Densidad	42.67	30	4.67	1.67	0.67	0	79.67
	Densidad relativa (%)	53.56	37.66	5.86	2.09	0.84	0	100
	Área basal (m <sup>2</sup> /0.05ha)	0.11	0.74	0.56	0.43	0.43	0	2.26
	Área basal relativa (%)	4.85	32.68	24.6	19.01	18.86	0	100
	Biomasa (t/0.05ha)	0.28	2.88	1.75	1.38	1.09	0	7.39
	Biomasa relativa (%)	3.83	38.97	23.74	18.73	14.73	0	100
	Carbono (t/0.05ha)	0.11	1.3	0.8	0.64	0.5	0	3.34
Carbono relativo (%)	3.37	38.79	23.81	19.07	14.96	0	100	

La alta variabilidad estructural encontrada en este trabajo se asemeja a otros estudios, como el realizado por Sierra *et al* (2007) en la región de Porce, Antioquia, Colombia, en el cual se cuantificaron las reservas de carbono en un paisaje heterogéneo compuesto por bosques primarios y secundarios. Ellos encontraron alta variabilidad en la estructura de los bosques y mencionan que el área basal media en los bosques primarios fue tres veces mayor (36.85 m<sup>2</sup>/ha) que la de bosques secundarios (12.92m<sup>2</sup>/ha). Esta variación se relaciona también

con la historia de uso del suelo y otros factores como las características físicas y químicas del suelo y la pendiente que al interactuar producen alta variación en la cobertura boscosa de esa región.

Lindner (2010) en bosques húmedos del Atlántico en Brasil, también encontró alta variación en la biomasa, que estaba relacionada con la presencia de árboles grandes en varios levantamientos de vegetación. En dicho estudio, los árboles con DAP>30cm representaron solo el 6% de los indi-

viduos muestreados, pero contribuyeron al 72% de la biomasa estimada.

### Distribución de la biomasa y el carbono por clase diamétrica

La distribución de la biomasa y el carbono por clase diamétrica (DAP) varió notablemente entre los tipos de bosque. Los bosques que pertenecen a la misma asociación pero que se distribuyen en localidades diferentes se presentan por separado, diferenciados por un número, el cual indica su nivel de intervención (1: poco intervenido, 2: intervención media-alta), esto sucede con las asociaciones *Trichilio hirtae*-*Schizolobietum parahibi* y *Jacarando copaiae*-*Pouterietum multiflorae*. En la Figura 378 se presenta la distribución de la biomasa y de carbono por clase diamétrica para cada tipo de bosque. Los bosques que presentaron una tendencia similar fueron agrupados y etiquetados con una letra, obteniéndose seis grupos (A-F).

El primer grupo (A) se caracteriza por los bosques que presentan la mayor acumulación de la biomasa y del carbono en los árboles de clases diamétricas mayores (clases X-XIII, DAP>100cm). Este patrón lo exhiben las asociaciones *Prestoeo decurrentis*-*Trichillietum poeppigi*, *Macrolobio ischnocalycis*-*Peltogynetum purpurea* y *Trichilio hirtae*-*Schizolobietum parahibi\_1*. En la primera asociación, la biomasa y el carbono se distribuyen en su mayoría (69%) en tres clases diamétricas X(90-100), XI(100-150) y XII(150-200), lo cual corresponde a 28.32 t/0.05ha; en la segunda asociación la biomasa y el carbono se concentran principalmente en dos clases (25.83 t/0.05ha que equivalen al 62.77% en las clases XI(100-150) y XII(150-200)). Una tendencia similar muestra la tercera asociación con una acumulación mayor de biomasa y carbono en una clase (24.11 t/0.05ha que corresponden a 54.34% del total de la asociación en la clase XIII(>200).

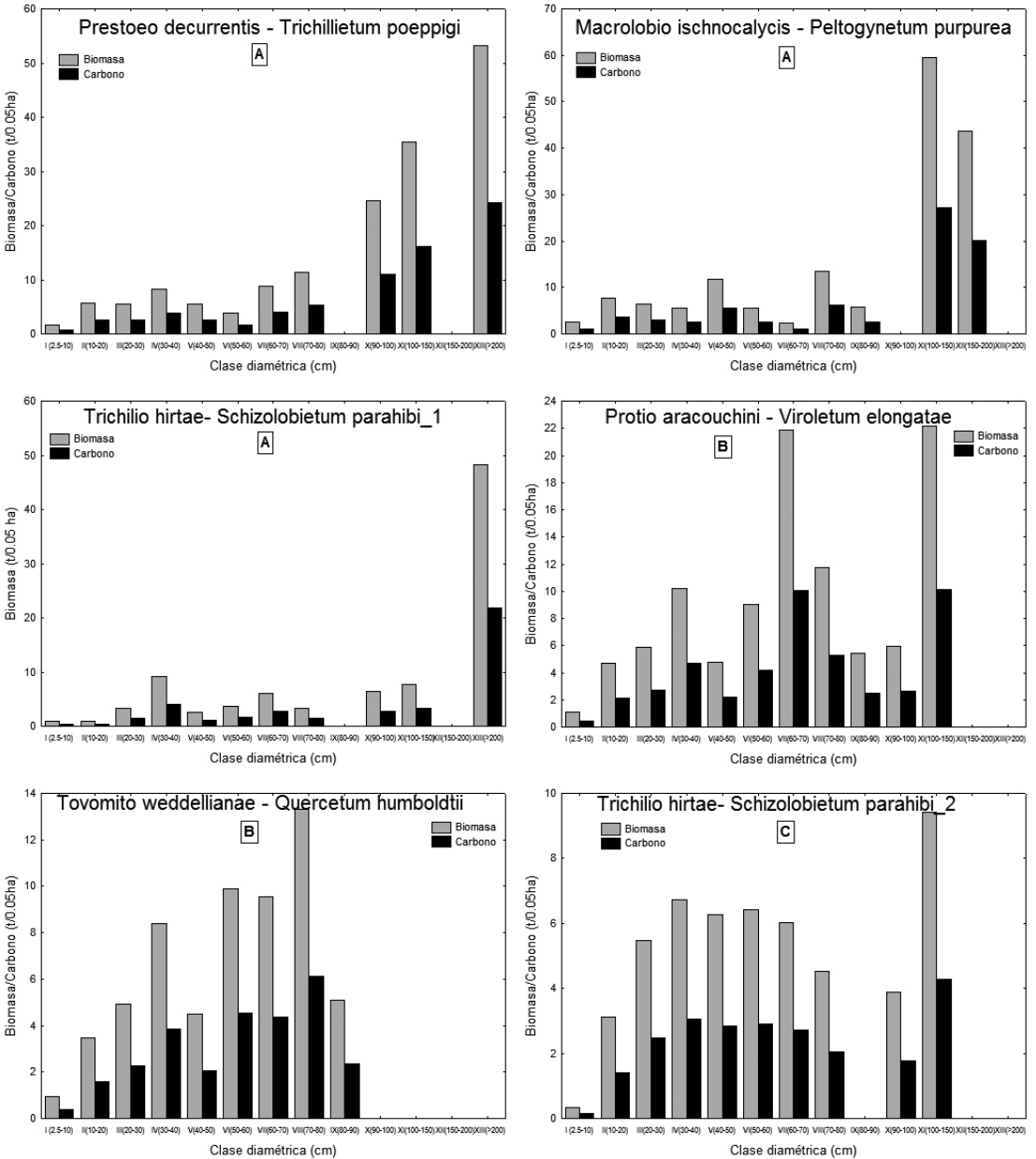
El grupo B lo conforman los bosques de las asociaciones *Tovomito weddellianae*-*Quercetum humboldtii* y *Protio aracouchini*-*Violetum elongatae*, los cuales presentan una distribución completa, es decir poseen individuos en todas las clases diamétricas. En la primera asociación hay una acumulación importante de biomasa y carbono en las clases VIII(70-80) con un 22.16%

(6.65t/0.05ha), las clases VI(50-60), VII(60-70) y IV(30-40) tienen una participación considerable en la acumulación de biomasa en este bosque contribuyendo con un 16.46% (4.94 t/0.05ha), 15.89% (4.77 t/0.05ha) y 13.97% (4.19t/0.05ha), respectivamente; no se observa sin embargo una diferenciación tan marcada de pocas clases con respecto a las demás, como sucede en los bosques del grupo A. En la segunda asociación, las clases VII(60-70), XI(100-150) y VIII(70-80) concentran una alta proporción de biomasa y carbono con valores de 21.54, 21.27 y 11.40%, respectivamente (7.30, 7.39 y 3.91 t/0.05ha).

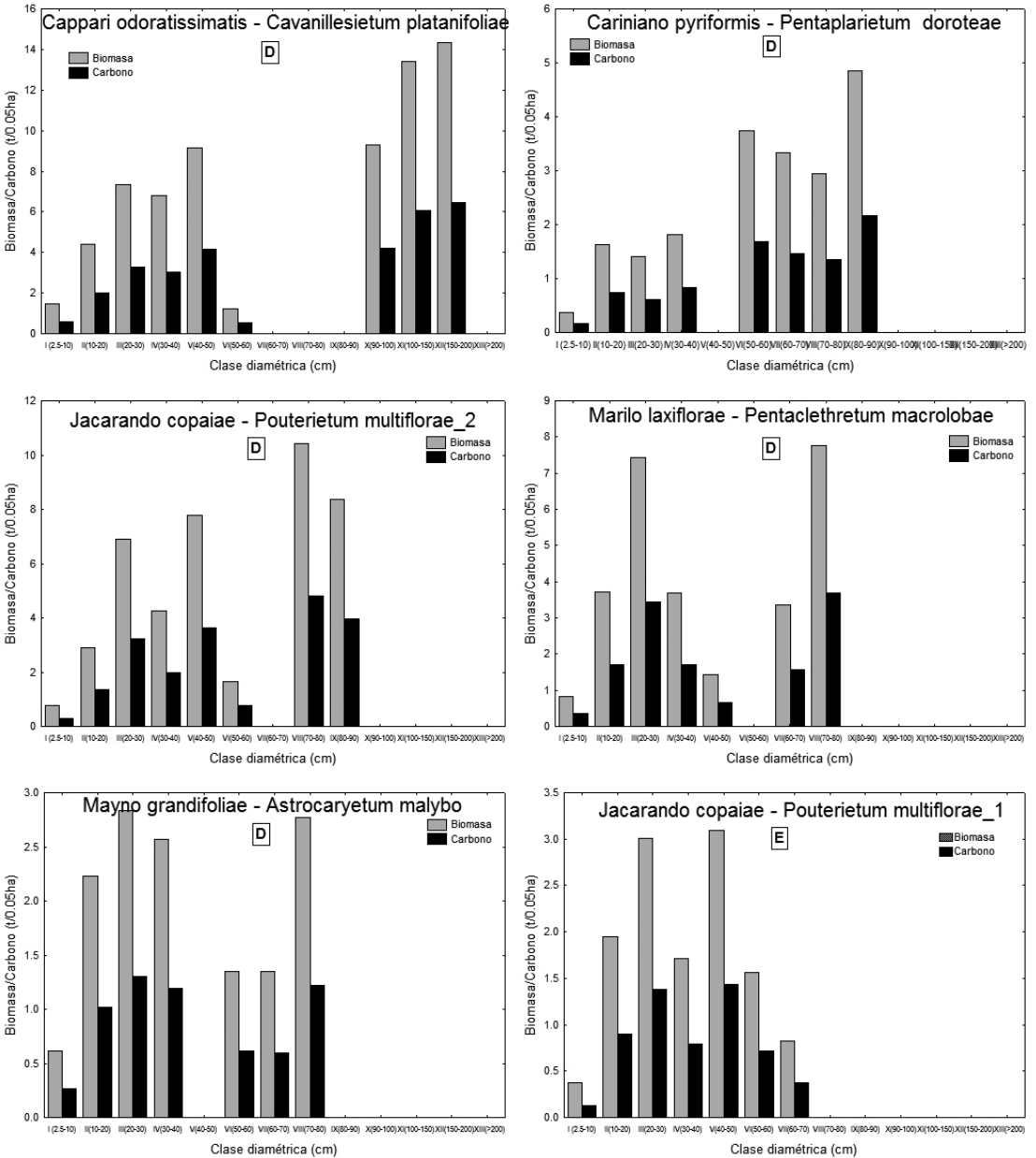
El grupo C lo conforman los bosques de la asociación *Trichilio hirtae*-*Schizolobietum parahibi\_2*, los cuales presentan la mayor acumulación de biomasa en la clase XI(100-150) con un 18% (2.36 t/0.05ha), seguido por las clases IV, V y VI (30-60) con 12.90% (1.69 t/0.05ha), 12.28% (1.57 t/0.05ha), y 11.51% (1.51 t/0.05ha), respectivamente. La biomasa se reparte en cantidades similares en las clases III-VIII (20-80).

El grupo D se caracteriza por presentar distribución incompleta, es decir en algunas clases diamétricas no hay individuos. La biomasa se concentra en las clases menores (III-V: 20-50) y mayores (VIII-XII: 80-200). Se distinguen dos grupos separados por la ausencia de árboles en las clases medias, con cantidades de biomasa y carbono similares en ambos grupos. Esta tendencia la presentan los bosques de las asociaciones *Cappari odoratissimatis* - *Cavanillesietum platanifoliae*; *Cariniano pyriformis* -*Pentaplarietum doroteae*; *Jacarando copaiae*-*Pouterietum multiflorae\_2*; *Mayno grandifoliae* - *Astrocaryetum malybo* y *Marilo laxiflorae* - *Pentaclethretum macrolobae*.

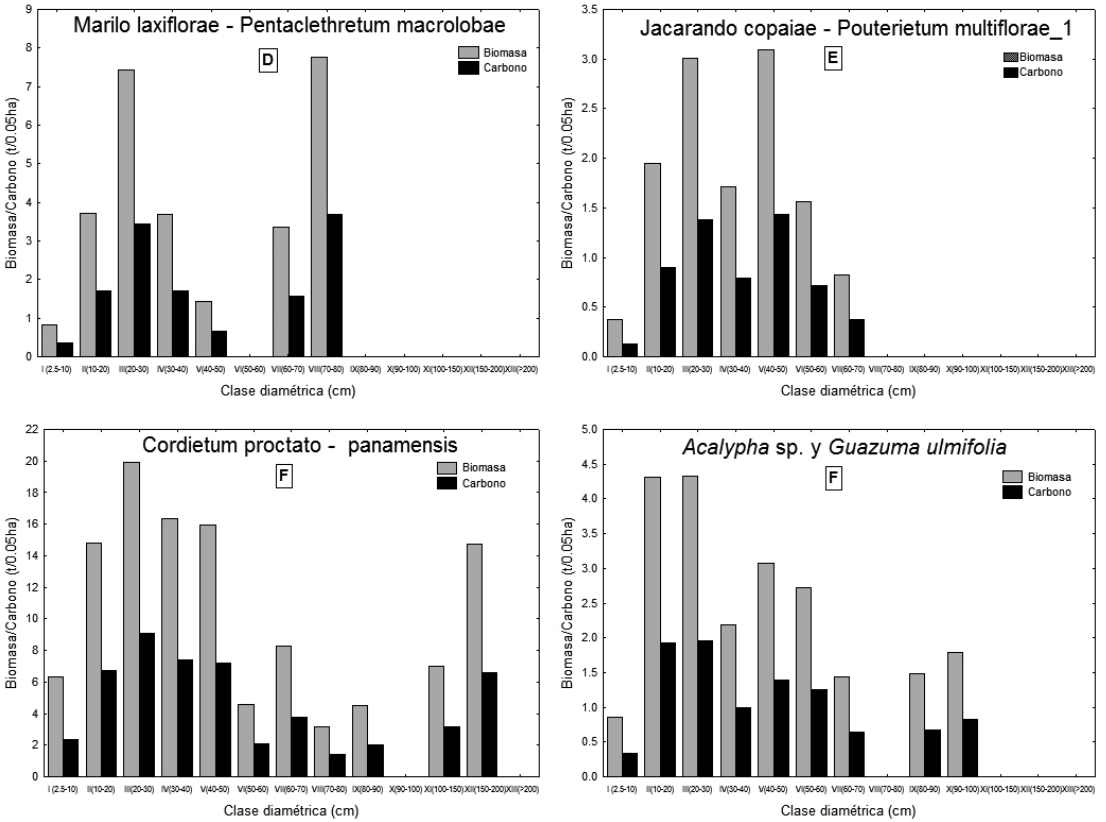
El grupo E lo constituyen los bosques de la asociación *Jacarando copaiae*-*Pouterietum multiflorae\_1* que presentan una distribución completa (sin interrupciones), pero no contiene individuos con diámetros mayores a 80 cm, contiene la mayor cantidad de biomasa y carbono en las clases V(40-50) y III(20-30) con 25.68% (3.09 t/0.05ha) y 24.04% (3.01 t/0.05ha). La cantidad de biomasa en las clases II(10-20), IV(30-40) y VI(50-60) es muy similar: 15.57% (1.95t/0.05ha), 13.65 (1.71 t/0.05ha) y 12.46% (1.56 t/0.05ha).



**Figura 378.** Distribución de la biomasa aérea por clase diamétrica de los individuos con DAP > 2.5 cm de en los diferentes tipos de bosque de localidades del Sur y Noroccidente de Córdoba, Colombia. Las letras en los cuadros indican los grupos de asociaciones.



**Continuación Figura 378.** Distribución de la biomasa aérea por clase diamétrica de los individuos con DAP > a 2.5 cm de en los diferentes tipos de bosque de localidades del Sur y Noroccidente de Córdoba, Colombia. Las letras en los cuadrados indican los grupos de asociaciones.



Continuación Figura 378. Distribución de la biomasa aérea por clase diamétrica de los individuos con DAP > a 2.5 cm de en los diferentes tipos de bosque de localidades del Sur y Noroccidente de Córdoba, Colombia. Las letras en los cuadrados indican los grupos de asociaciones.

Los bosques del grupo F corresponden a la asociación *Cordietum proctato*- *Cordietum panamensis* y a la comunidad de *Acalypha* sp. y *Guazuma ulmifolia* y se caracterizan porque la biomasa se concentra principalmente en las clases menores. En la primera asociación, las clases III(20-30), IV(30-40), V(40-50) y II(10-20) presentan alto contenido de biomasa y carbono que corresponde al 17, 14, 13 y 12% y equivale a 6.09 t/0.05ha en promedio para esta asociación. En la segunda comunidad, la mayor concentración de biomasa y carbono se presenta en las clases II(10-20) y III(20-30) con 19.53 y 19.44%, que corresponde a 2.88 t/0.05ha. Esta tendencia se relaciona con el estado sucesional que presenta esta comunidad, pues corresponde a bosques secundarios en su mayoría.

**Distribución de la biomasa y el carbono según los estratos**

La distribución de la biomasa en los diferentes estratos del bosque varió entre los diferentes tipos de bosque. La variación está dada por el número de individuos presente en cada estrato y por el tamaño de los individuos dominantes en cada estrato. La mayor acumulación de biomasa y de carbono se encontró en los estratos arbóreos en la mayoría de los tipos de bosque. En cinco bosques se concentra en el estrato arbóreo superior y en siete bosques en el arbóreo inferior; en un bosque se reparte por igual entre los estratos arbóreo superior e inferior y tan sólo en un bosque se concentra en el subarbóreo. En la figura 379 se aprecia esta variación. Los bosques que presentan una tendencia similar en la

distribución de la biomasa y carbono se agruparon y se representan con una letra (A-F). El grupo A está conformado por las asociaciones Prestoeo decurrentis-Trichilietum poeppigi, Macrolobio ischnocalycis-Peltogynetum purpurea, Trichilio hirtae- Schizolobietum parahibi\_1 y Jacarando copaiae-Pouterietum multiflorae\_2. Se caracterizan porque la biomasa y el carbono se concentran principalmente en el estrato arbóreo superior seguido por el estrato arbóreo inferior con una diferencia muy marcada. En las dos primeras asociaciones, la biomasa se distribuye en un 71.26 y 71.02% en el estrato superior con valores medios de biomasa de 29.24 y 29.23 t/0.05ha. En la asociación Trichilio hirtae- Schizolobietum parahibi\_1 se observa una acumulación del 70.39% de la biomasa en este estrato, que corresponde a 32.41 t/0.05ha. Los bosques de Jacarando copaiae-Pouterietum multiflorae\_2 contienen en el estrato superior un 24.69% de la biomasa (12.34 t/0.05ha).

El grupo B lo conforman los bosques de la asociación Protio aracouchini-Viroletum elongatae; la biomasa se distribuye en cantidades similares en los estratos arbóreos superior e inferior, con valores de 16.21 y 16.16 t/0.05ha que equivalen al 48.64 y 48.67% de la biomasa aérea total de estos bosques.

El grupo C está constituido por las asociaciones Tovomito weddellianae- Quercetum humboldtii; Cappari odoratissimatis-Cavanillesietum platanifoliae; Cariniano pyriformis-Pentaplarietum doroteae y Trichilio hirtae- Schizolobietum parahibi\_2, la biomasa y el carbono se acumulan en mayor cantidad en el estrato arbóreo inferior seguido por el estrato arbóreo superior. En la primera asociación se encontró una distribución de la biomasa de 16.64 y 11 t/0.05ha en los estratos arbóreo superior e inferior respectivamente, que equivalen al 33.29 y 22 % de la biomasa aérea total de estos bosques. En los bosques de la asociación Cappari odoratissimatis-Cavanillesietum platanifoliae se observó una acumulación de 11.32 t/0.05ha en el estrato arbóreo inferior y 9.51 t/0.05ha en el superior, que corresponde al 33.97 y 28.53%. En la asociación Cariniano pyriformis-Pentaplarietum doroteae se presentaron 10.1 y 8.19 t/0.05ha en los estratos arbóreo inferior y superior, respectivamente (50.24 y 40.7%). En los bosques de las asociaciones Trichilio hirtae- Schizolobietum parahibi\_2, la biomasa en el estrato arbóreo inferior

fue de 7.61 t/0.05ha (58.30%) y 3.94 t/0.05ha en el superior (30.18%).

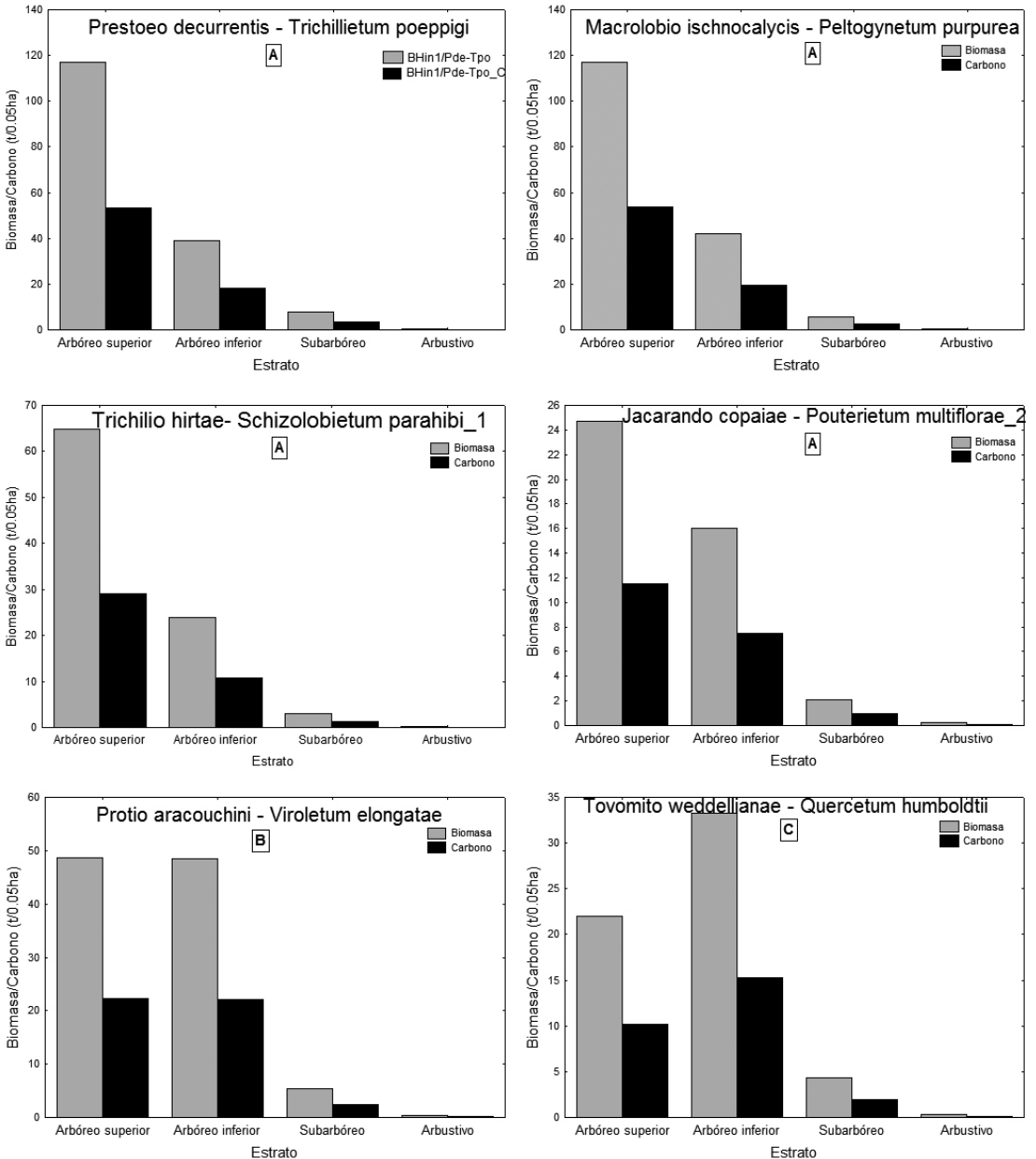
En el grupo D se reúnen las asociaciones Cordietum proctato – panamensis y Marilo laxiflorae - Pentaclethretum macrolobae que presentan una mayor acumulación de biomasa y carbono en el estrato arbóreo inferior con un 52.5% (5.52 t/0.05ha), con participación similar de los estratos arbóreo superior y subarbóreo 25.29 (2.73 t/0.05ha) y 19.8% (2.07 t/0.05ha).

Las asociaciones Jacarando copaiae - Pouterietum multiflorae\_1 y Mayno grandifoliae-Astrocaryetum malybo que conforman el grupo E no tenían representantes en el estrato arbóreo superior y la mayor proporción de biomasa y carbono se encuentra en el estrato arbóreo inferior, seguido por el subarbóreo. En la primera asociación la biomasa almacenada en el estrato inferior fue de 8.66 t/0.05ha en promedio y 2.72 t/0.05ha en el subarbóreo, valores que corresponden al 69 y 21%. En los bosques de la asociación Mayno grandifoliae - Astrocaryetum malybo, la biomasa en el estrato arbóreo inferior se cuantificó en 10.09 t/0.05ha (73.49%) y 2.34 t/0.05ha (17.04%).

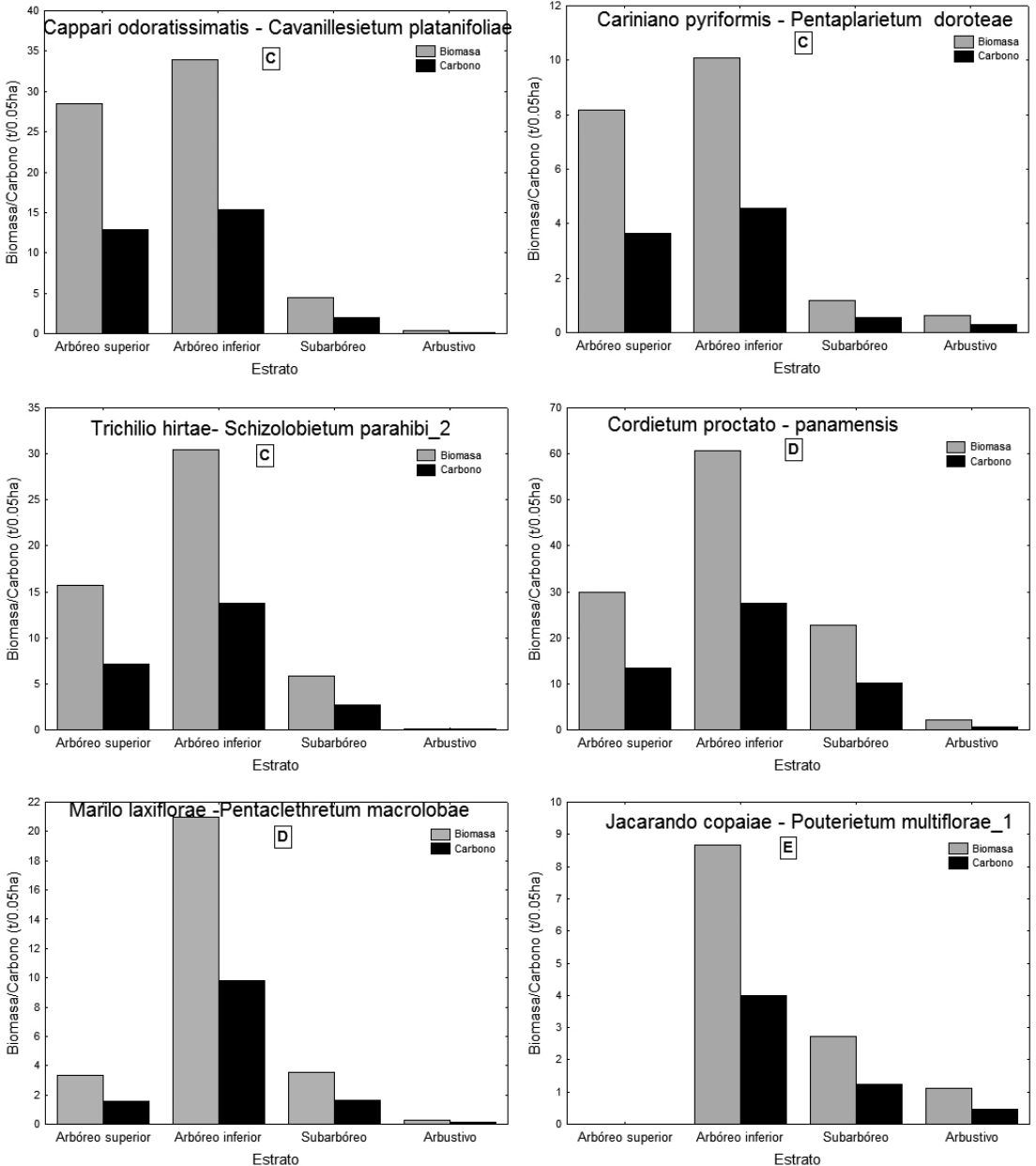
El grupo F constituido por los bosques de la comunidad de *Acalypha* sp. y *Guazuma ulmifolia* presenta la mayor cantidad de biomasa y carbono en el estrato subarbóreo, seguido por el arbóreo inferior. En el estrato subarbóreo se encontró un promedio de 4.64 t/0.05ha que equivale al 62.83%, mientras que en el arbóreo inferior la biomasa sumó 2.52 t/0.05ha (34.05%).

El estrato arbustivo tiene baja representación en todos los tipos de bosque, no obstante en los bosques de las asociaciones Mayno grandifoliae - Astrocaryetum malybo, Jacarando copaiae - Pouterietum multiflorae\_1 y la comunidad de *Acalypha* sp. y *Guazuma ulmifolia* este estrato alcanza mayor participación en la acumulación de biomasa y carbono (9.46%, 9.03% y 3.06% respectivamente).

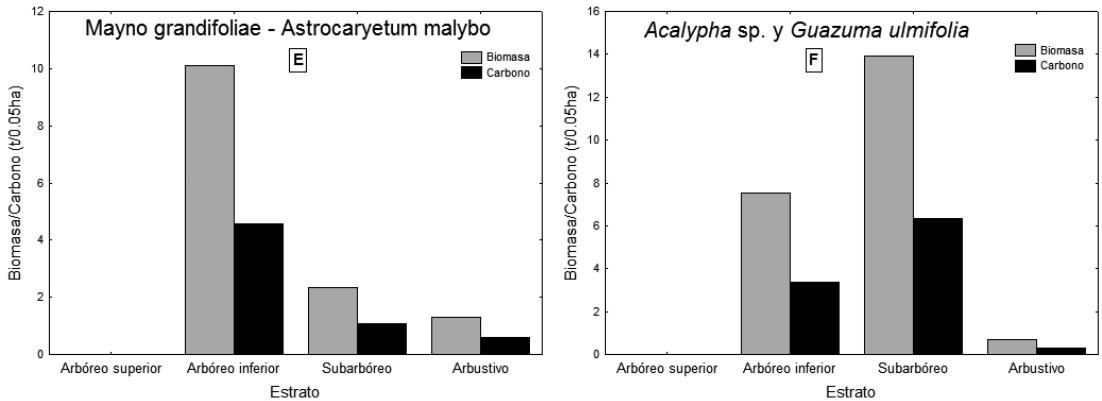
Estas tendencias están en relación con los grados de intervención a los que se han visto sometidos los bosques estudiados, lo cual se refleja en la distribución incompleta en clases diamétricas y estratos (clases y estratos con ausencia de individuos), en la distribución diferente a los patrones descritos para



**Figura 379.** Distribución de la biomasa aérea por estrato para los individuos con DAP > a 2.5 cm en los diferentes tipos de bosque de localidades del Sur y Noroccidente de Córdoba, Colombia.



**Continuación Figura 379.** Distribución de la biomasa aérea por estrato para los individuos con DAP > a 2.5 cm en los diferentes tipos de bosque de localidades del Sur y Noroccidente de Córdoba, Colombia.



**Continuación Figura 379.** Distribución de la biomasa aérea por estrato para los individuos con DAP > a 2.5 cm en los diferentes tipos de bosque de localidades del Sur y Noroccidente de Córdoba, Colombia.

bosques sin intervención con tendencia a mayor acumulación de individuos en las clases menores (jota invertida) y en la observación en campo donde se aprecia la alteración con presencia de claros y árboles cortados.

La presencia de especies como *Cavanillesia platanifolia* que alcanza gran tamaño (diámetros superiores a 100 cm y alturas mayores a 20 m), conduce a la alta concentración de biomasa en los bosques de la asociación *Trichilio hirtae-Schizolobietum parahibi\_1*, esta especie acumula el 34.74% de la biomasa en toda la asociación (Anexo 17) y el 74.37% en el estrato arbóreo superior (Tabla 171). Una tendencia similar muestra la especie *Peltogyne purpurea* en la asociación *Macrolobio ischnocalycis - Peltogynetum purpurea* que sola contribuye al 53.18 % de la biomasa aérea en estos bosques. En el anexo 17 se muestra la proporción de la biomasa almacenada en las especies dominantes en toda la asociación.

**Distribución de la biomasa en diferentes especies**

La biomasa y el carbono se distribuyen de manera desigual entre las especies en los diferentes tipos de bosque. La mayor acumulación se presentó en pocas especies. En el anexo 17 se muestran las cinco especies responsables de la mayor reserva de carbono a nivel general (sin distinguir entre estratos) para cada asociación, y su contribución (%) al total de las reservas. En los bosques de las asociaciones *Prestoeo decurrentis - Trichillietum poeppigi*, *Protio araucouchini - Viroletum elongatae* y *Jacarando copaiaie*

- *Pouterietum multiflorae*, la mayor contribución es dada por la especie *Dipteryx oleifera* 8.21 t/0.05ha (20.04%), 7.97 (23.25%) y 2.98t/0.05ha (16.16%) respectivamente. En la asociación *Macrolobio ischnocalycis - Peltogynetum purpurea*, la especie *Peltogyne purpurea* es la mayor contribuyente con 15.57 t/0.05ha (37.88%); en la asociación *Tovomito weddellianae - Quercetum humboldtii* es *Quercus humboldtii* la especie con mayor cantidad de biomasa 18.86 t/0.05ha (62.99%); en las asociaciones *Cariniano pyriformis - Pentaplarietum doroteae* y *Cordietum proctato - Cordietum panamensis*, la especie *Pentaplaris doroteae* es la mayor contribuyente a las reservas de biomasa y carbono 5.3 t/0.05ha (23.39%) y 2.31 t/0.05ha (22.14%) respectivamente. En la asociación *Trichilio hirtae- Schizolobietum parahibi* la mayor cantidad de biomasa esta almacenada por *Cavanillesia platanifolia* 8.36 t/0.05ha (34.74%); en la asociación *Mayno grandifoliae - Astrocaryetum malybo*, *Pseudobombax septenatum* es la especie con mayor reserva de biomasa 4.4 t/0.05ha (32.09%); en la asociación *Marilo laxiflorae - Pentaclethretum macrolobae* la especie con mayor reserva es *Pentaclethra macroloba* con 3.18 t/0.05ha (22.59%) y en la comunidad de *Acalypha sp. y Guazuma ulmifolia* la mayor cantidad de biomasa y carbono esta almacenada por *Guazuma ulmifolia* con 2.59 t/0.05ha (35.16%). En términos generales, entre el 40 y 80% de las reservas de biomasa y carbono son almacenadas por solo cinco especies en cada asociación (Anexo 17). En la tabla 171 se resumen las tres especies que contribuyen en mayor proporción a las reservas de biomasa y carbono en cada tipo de bosque, se distinguen los estratos.

**Tabla 171.** Especies dominantes según la biomasa en los diferentes tipos de bosque en localidades del Sur y Noroccidente de Córdoba.

Alianza	Asociación	Estrato	Especie	Cobertura relativa	Densidad relativa	Area basal relativa	IPF relativo	Biomasa relativa	Carbono en la biomasa (%)
Eschweilero coriaceae - Pentaclethron macrolobae	Prestoeo decurrentis - Trichillietum poeppigi	Árboreo superior	<i>Dipteryx oleifera</i>	21.23	7.69	26.81	18.58	28.08	28.37
			<i>Anacardium excelsum</i>	10.62	7.69	25.81	14.71	17.45	17.22
			<i>Ceiba pentandra</i>	10.19	7.69	11.81	9.9	9.76	9.83
			<i>Quararibea</i> sp. 1	10.74	7.14	18.1	12	19.88	19.73
			<i>Sapotaceae</i> sp. 3	1	1.79	12.5	5.1	13.36	13.25
		Árboreo inferior	<i>Pentaclethra macroloba</i>	5.92	5.36	7.16	6.15	9.86	10.01
			<i>Dendropanax</i> sp. 1	1.06	0.94	16.12	6.04	15.69	15.09
			<i>Pentaclethra macroloba</i>	3.45	1.88	8.84	4.73	12.31	12.74
			<i>Anaxagorea crassipetala</i>	13.53	9.39	9.82	10.91	11.31	11.41
			<i>Eschweilera</i> sp. 1	1.1	2.75	30.49	11.45	38.29	45.68
	Subarbóreo	<i>Tabernaemontana cymosa</i>	1.32	0.92	12.96	5.07	11.46	13.82	
		<i>Arecaceae</i> sp. 3	4.2	3.67	6.14	4.67	5.39	6.49	
		Árboreo superior	<i>Peltogyne purpurea</i>	44.15	55.56	46.55	48.75	53.18	52.99
			<i>Couratari guianensis</i>	10.9	11.11	20.48	14.16	14.29	14.46
			<i>Andira inermis</i>	20.43	11.11	15.76	15.77	13.45	13.43
	<i>Eschweilera coriacea</i>		11.6	6.52	9.77	9.3	14.18	14.72	
	Árboreo inferior	<i>Licania</i> sp.2	0.52	1.09	9.8	3.8	13.66	13.51	
		<i>Macrobium colombianum</i>	4.2	5.43	10.27	6.63	11	10.91	
		<i>Macrobium ischnocalyx</i>	21.11	17.56	23.68	20.78	24.59	24.75	
		<i>Helianthostylis sprucei</i>	2.3	0.76	4.01	2.36	4.31	4.41	
Subarbóreo	<i>Eschweilera coriacea</i>	3.17	3.05	2.85	3.02	3.71	3.89		
	<i>Amphirrhox longifolia</i>	27.82	23.71	51.28	34.27	54.35	70.59		
	<i>Gustavia</i> sp.1	1.86	3.09	4.32	3.09	5.01	5.74		
	<i>Macrobium ischnocalyx</i>	8.25	6.19	3.94	6.13	3.88	2.69		
Billio roseae-Quercion humboldtii	Árboreo superior	<i>Quercus humboldtii</i>	75.97	66.67	82.23	74.96	85.74	85.65	
		<i>Aspidosperma</i> sp.3	9.89	16.67	10.55	12.37	9.02	9.02	
		<i>Virola elongata</i>	14.13	16.67	7.21	12.67	5.24	5.32	
		<i>Quercus humboldtii</i>	33.56	20	47.23	33.6	56.53	56.45	
		<i>Nectandra martinicensis</i>	3.51	2.86	10.66	5.67	9.24	9.23	
	Árboreo inferior	<i>Dendrobangia boliviana</i>	15.03	14.29	9.58	12.96	6.32	6.28	
		<i>Tovomita weddelliana</i>	11.48	5.66	14.08	10.41	16.62	16.72	
		<i>Myrciaria floribunda</i>	11.3	9.43	9.29	10.01	10.89	10.9	
		<i>Swarzia brachyrhachis</i>	2.8	3.77	6.58	4.39	9.21	8.91	
		<i>Micropholis crotonoides</i>	7.09	3.88	7.88	6.28	8.91	11.34	
	Subarbóreo	<i>Tovomita weddelliana</i>	6.34	3.88	5.9	5.38	7.96	10.98	
		<i>Dendropanax arboreus</i>	6.34	6.8	7.99	7.04	7.53	8.45	
		Árboreo superior	<i>Dipteryx oleifera</i>	20	14.29	19.12	17.8	30.58	31.58
			<i>Virola reidii</i>	41	28.57	37.77	35.78	27.25	25.82
			<i>Pouteria</i> sp.5	10.67	14.29	16	13.65	13.22	13
<i>Brosimum guianense</i>	8.58		5.17	14.52	9.42	20.57	19.51		
Árboreo inferior	<i>Dipteryx oleifera</i>	9.65	3.45	12.41	8.5	18.32	18.89		
	<i>Jacaranda copaia</i>	5.15	3.45	6.94	5.18	6.56	6.78		
	<i>Amphirrhox longifolia</i>	14.82	19.55	11.62	15.33	9.7	9.75		
	<i>Helicostylis tomentosa</i>	3.3	3.76	7.39	4.82	6.5	6.41		
Subarbóreo	<i>Caryocar amygdaliferum</i>	0.77	1.5	6.13	2.8	5.77	5.79		
	<i>Euphorbiaceae</i> sp.1	1.73	1.55	29.77	11.01	29.08	45.65		
	<i>Amphirrhox longifolia</i>	16.59	7.75	14.23	12.86	14.51	19.13		
	<i>Protium aracouchini</i>	6.22	5.43	3.67	5.11	3.54	2.31		
Brosimo utilis - Pentaclethron macrolobae	Árboreo inferior	<i>Caesalpinaceae</i> sp.2	4.96	6.25	20.16	10.46	18.06	18.05	
		<i>Pouteria buenaventurensis</i>	17.36	12.5	18.44	16.1	16.33	16.2	
		<i>Ocotea cernua</i>	13.22	6.25	13.4	10.96	15.07	15.06	
		<i>Senefeldera testiculata</i>	6.68	6	9.42	7.37	12.32	12.37	
	Subarbóreo	<i>Casearia arguta</i>	6.68	6	9.35	7.34	10.16	10.2	
		<i>Fabaceae</i> sp.2	8.24	4	7.89	6.71	8.51	8.55	

**Continuación Tabla 171.** Especies dominantes según la biomasa en los diferentes tipos de bosque en localidades del Sur y Noroccidente de Córdoba.

Alianza	Asociación	Estrato	Especie	Cobertura relativa	Densidad relativa	Area basal relativa	IPF relativo	Biomasa relativa	Carbono en la biomasa (%)	
Brosimo utilis - Pentaclethron macrolobae	Jacarando copaiaie - Pouterietum multiflorae_1	Arbustivo	<i>Tovomitia stylosa</i>	3.87	2.63	59.5	22	72.47	78.12	
			<i>Matisia bracteolosa</i>	1.93	1.32	17.3	6.85	10.02	10.45	
			<i>Dendrobangia boliviana</i>	1.93	1.32	3.14	2.13	2.63	2.82	
	Jacarando copaiaie - Pouterietum multiflorae_2	Arbóreo superior	<i>Dipteryx oleifera</i>	12.62	12.5	28.29	17.8	33.95	34.49	
			<i>Dialium guianense</i>	25.49	12.5	23.76	20.58	29.65	29.7	
			<i>Pouteria multiflora</i>	15.29	12.5	20.65	16.15	12.53	12.21	
		Arbóreo inferior	<i>Eschweilera pittieri</i>	9.34	10.26	9.86	9.82	14.38	14.81	
			<i>Pentaclethra macroloba</i>	2.64	2.56	8.44	4.55	12.99	13.19	
			<i>Dendrobangia boliviana</i>	15.37	7.69	10.71	11.26	10.42	10.2	
		Subarbóreo	<i>Iryanthera hostmannii</i>	9.67	9.09	12.79	10.51	16.17	16.19	
			<i>Inga</i> sp.2	4.36	2.6	7.2	4.72	9.03	9.65	
			<i>Dipteryx oleifera</i>	2.72	1.3	6.44	3.49	8.83	9.13	
			<i>Wettinia hirsuta</i>	10.72	11.34	15.73	12.59	24.17	37.53	
	Arbustivo	<i>Guarea kunthiana</i>	7.61	8.25	14.27	10.04	10.16	13.7		
		<i>Fareamea</i> sp.2	5.19	5.15	6.19	5.51	6.1	5.69		
	Marilo laxiflorae - Pentaclethretum macrolobae	Arbóreo superior	<i>Brosimum utile</i>	10	1	0.3	0	3.35	1.57	
			<i>Pentaclethra macroloba</i>	26.49	17.78	29.55	24.61	29.18	29.49	
		Arbóreo inferior	<i>Sloanea tuerckheimii</i>	2.49	2.22	16.27	7	19.78	20	
			<i>Sloanea zuliaensis</i>	6.18	4.44	6.33	5.65	9.28	9.35	
			<i>Iryanthera hostmannii</i>	21.65	10	14.6	15.42	14.35	14.63	
		Subarbóreo	<i>Melastomataceae</i> sp.2	2.01	2.22	5.38	3.2	6.75	6.75	
			<i>Pentaclethra macroloba</i>	4.3	5.56	7.14	5.67	6.24	6.4	
		Arbustivo	<i>Casearia arguta</i>	2.9	1.72	18.58	7.74	22.53	27.3	
			<i>Amphirrhox longifolia</i>	16.88	12.07	12.19	13.71	12.21	12.8	
			<i>Dendropanax arboreus</i>	4.36	3.45	6.81	4.87	6.36	7.23	
	Astrocaryo malybo - Cavanillesion platanifoliae	Arbóreo superior	<i>Cavanillesia platanifolia</i>	0	50	62.56	37.52	59.23	59.64	
			<i>Pentaplaris doroteae</i>	100	50	37.44	62.48	40.77	40.36	
			<i>Castilla elastica</i>	24	13.33	34.02	23.78	30.72	31.28	
			<i>Pentaplaris doroteae</i>	13.71	6.67	17.35	12.58	19.43	18.85	
			<i>Croton</i> sp.1	10	6.67	15.71	10.79	17.68	17.93	
			<i>Melastomataceae</i> sp. 3	26.21	12	25.25	21.15	27.08	26.99	
		Subarbóreo	<i>Mouriri completens</i>	6.45	4	10.56	7	12.9	12.85	
<i>Annonaceae</i> sp. 2			8.06	4	10.24	7.44	12.51	12.47		
<i>Astrocaryum malybo</i>			87.84	69.62	82	79.82	80.69	82.72		
<i>Fareamea capillipes</i>			6.22	16.46	11.74	11.47	12.87	12.82		
Arbustivo		<i>Hirtella americana</i>	0.16	1.27	0.92	0.78	1.59	1.65		
		<i>Pseudobombax septenatum</i>	27.39	15	44.42	28.93	42.98	41.9		
Mayno grandifoliae - Astrocaryetum malybo		Arbóreo inferior	<i>Schizolobium parahyba</i>	7.26	5	12.54	8.27	13.33	13.57	
			<i>Bursera simaruba</i>	15.77	20	10.85	15.54	8.5	8.61	
			<i>Cupania</i> sp.1	3.43	2	10.89	5.44	17.63	17.72	
		Subarbóreo	<i>Cordia</i> sp. 2	8.24	8	10.6	8.94	12.38	12.33	
	<i>Annona</i> sp.1		13.96	6	11.79	10.58	10.55	10.43		
	<i>Astrocaryum malybo</i>		73.88	74.71	88.75	79.11	86.57	87.4		
	Arbustivo	<i>Gustavia superba</i>	17	12.64	7.67	12.44	8.93	8.64		
		<i>Bactris pilosa</i>	0.25	1.15	1.2	0.87	1.5	1.53		
	Alianza no definida	Trichilio hirtae-Schizolobietum parahibi_1	Arbóreo superior	<i>Cavanillesia platanifolia</i>	31.91	25	61.8	39.57	74.37	74.74
				<i>Pseudobombax septenatum</i>	25.53	25	21.12	23.88	11.87	11.59
<i>Pentaplaris doroteae</i>				21.28	25	11.8	19.36	9.88	9.7	
Arbóreo inferior			<i>Pentaplaris doroteae</i>	32.36	33.33	31.52	32.4	32.38	31.77	
			<i>Machaerium goudotii</i>	4.97	3.03	11.3	6.43	13.72	13.99	
			<i>Vitex</i> sp.1	8.94	3.03	9.81	7.26	10.82	10.56	
Subarbóreo			<i>Anacardium excelsum</i>	15.29	1.45	38.36	18.37	32.86	33.17	
			<i>Zanthoxylum setulosum</i>	6.21	2.9	11.25	6.79	13.27	13.43	
			<i>Pouteria subrotata</i>	17.52	15.94	9.46	14.31	11.59	11.46	

**Continuación Tabla 171.** Especies dominantes según la biomasa en los diferentes tipos de bosque en localidades del Sur y Noroccidente de Córdoba.

Alianza	Asociación	Estrato	Especie	Cobertura relativa	Densidad relativa	Area basal relativa	IPF relativo	Biomasa relativa	Carbono en la biomasa (%)		
Alianza no definida	Trichilio hirtae-Schizolobietum parahibi_1	Arbustivo	<i>Myrtaceae</i> sp.9	16.3	7.59	10.94	11.61	16.5	21.33		
			<i>Fareamea parvibracteata</i>	21.6	21.52	17.2	20.11	16.04	9.16		
			<i>Pouteria subrotata</i>	6.52	3.8	9.23	6.52	11.3	15.85		
Alianza no definida	Trichilio hirtae-Schizolobietum parahibi_2	Arbóreo superior	<i>Trichilia hirta</i>	79.77	66.67	63.34	69.93	75.29	75.32		
			<i>Bursera simaruba</i>	20.23	33.33	36.66	30.07	24.71	24.68		
		Arbóreo inferior	<i>Trichilia hirta</i>	10.82	8.16	16.48	11.82	22.4	22.46		
			<i>Sterculia</i> sp.2	10.63	14.29	16.7	13.87	14.25	14.05		
		Subarbóreo	<i>Fabaceae</i> sp.4	3.64	4.08	5.04	4.25	7.35	7.37		
			<i>Bombacaceae</i> sp.1	2.11	2.3	10.05	4.82	12.61	12.61		
			<i>Schizolobium</i> sp.1	20.28	8.05	12.79	13.7	12.21	12.29		
		Arbustivo	<i>Trichilia acuminata</i>	11.39	13.79	8.29	11.16	10.22	10.39		
			<i>Trichilia hirta</i>	10.63	5.41	18.23	11.42	20.05	24.85		
			<i>Fareamea occidentalis</i>	23.78	24.32	19.39	22.5	19.41	18.4		
			<i>Ampelocera macphersonii</i>	18.24	18.92	13.49	16.88	18.07	16.86		
		Crateva tapiae - Cavanillesion platanifoliae	Cordietum proctato - Cordietum panamensis	Arbóreo superior	<i>Pentaplaris doroteae</i>	31.25	16.67	55.46	34.46	49.26	48.95
<i>Cavanillesia platanifolia</i>	54.69				50	42	48.9	46.76	46.99		
<i>Pterocarpus acapulcensis</i>	7.81				16.67	2.52	9	3.98	4.06		
Arbóreo inferior	<i>Pentaplaris doroteae</i>			11.08	9.8	13.53	11.47	14.11	13.65		
	<i>Bursera simaruba</i>			9.01	8.5	12.11	9.87	8.7	8.69		
	<i>Acanthaceae</i> sp.2			9.52	7.19	6.71	7.81	7.69	7.72		
Subarbóreo	<i>Pentaplaris doroteae</i>			1.2	1.05	8.12	3.46	8.49	8.32		
	<i>Cordia panamensis</i>			4.81	4.06	7.5	5.46	7.66	7.82		
	<i>Alseis blackiana</i>			4.98	4.36	6.5	5.28	6.52	6.59		
Arbustivo	<i>Guettarda acreana</i>			3.33	1.83	3.9	3.02	7.3	9.93		
	<i>Bignoniaceae</i> sp.2			1.05	0.46	8.89	3.47	7.14	10.38		
	<i>Rosenbergiodendron formosum</i>			2.38	1.68	5.35	3.14	6.03	8.2		
Crateva tapiae - Cavanillesion platanifoliae	Cappari odoratissimatis - Cavanillesietum platanifoliae			Arbóreo superior	<i>Bombacaceae</i> sp.1	35.71	25	46.02	35.58	50.21	50.29
					<i>Cavanillesia platanifolia</i>	53.57	50	51.15	51.57	46.36	46.24
					<i>Pterocarpus acapulcensis</i>	10.71	25	2.83	12.85	3.43	3.48
		Arbóreo inferior	<i>Ruprechtia costata</i>	28.74	28.85	23.19	26.92	27.45	27.6		
			<i>Bombacaceae</i> sp.1	6.49	3.85	22.77	11.03	19.19	19.25		
			<i>Cavanillesia platanifolia</i>	3.48	1.92	14.35	6.58	12.35	12.31		
		Subarbóreo	<i>Machaerium milleflorum</i>	19.74	9.68	11.54	13.65	14.94	14.99		
			<i>Alseis blackiana</i>	5.4	7.26	8.88	7.18	8.71	8.81		
			<i>Ampelocera macphersonii</i>	6.84	8.06	7.29	7.4	8.38	8.16		
		Arbustivo	<i>Trichilia acuminata</i>	11.77	10.92	16.54	13.08	22.08	28.37		
			<i>Psychotria microdon</i>	7.77	11.76	12.15	10.56	12.81	14.01		
			<i>Crateva tapia</i>	4.22	2.52	18.91	8.55	11.09	14.55		
Alianza no definida	<i>Acalypha</i> sp. y <i>Guazuma ulmifolia</i>	Arbóreo inferior	<i>Tectona grandis</i>	21.14	32.35	24.13	25.88	14.25	13.33		
			<i>Tabebuia rosea</i>	22.87	23.53	18.49	21.63	22.39	23.58		
			<i>Spondias nombin</i>	11.34	5.88	20.38	12.53	21.37	21.68		
		Subarbóreo	<i>Guazuma ulmifolia</i>	25.88	21.82	61.25	36.31	54.96	55.3		
			<i>Caesalpinia glabrata</i>	9.52	9.09	2.92	7.18	6.29	6.1		
			<i>Tabebuia rosea</i>	6.02	8.18	4.19	6.13	5.1	5.26		
		Arbustivo	<i>Randia armata</i>	18.19	9.89	28.21	18.76	35.4	38.71		
			<i>Guazuma ulmifolia</i>	7.68	10.99	17.72	12.13	16.18	16.82		
			<i>Myrospermum frutescens</i>	3.54	2.2	10.23	5.32	7.75	8.59		

Los resultados encontrados en este estudio se asemejan a los mencionados por Kirby & Potvin (2007), en un estudio sobre la variación del almacenamiento de carbono entre especies en Iperi Embera (Panamá) el cual muestra que la contribución relativa de las especies al almacenamiento de carbono por hectárea en bosques y sistemas agroforestales, es altamente sesgada y frecuentemente no es proporcional a la abundancia de especies.

**Distribución de la biomasa en familias**

Al igual que en las especies, la biomasa también se acumula en mayor proporción en pocas familias. En la tabla 172 se muestra esta tendencia, casi un 80% de la biomasa se concentra principalmente en 20 familias en los bosques estudiados.

**Biomasa y carbono en el gradiente de precipitación**

La biomasa con relación al gradiente de precipitación presentó una variación entre 34.18 t/0.05ha para los bosques en clima súper húmedo hasta 7.39 t/0.05ha para los semihúmedos. Los bosques en clima muy húmedo y húmedo presentaron valores similares de 21.15 y 21.39 t/0.05ha (Tabla 173). La prueba de Kruskal-Wallis encontró diferencias significativas de la biomasa entre los climas (H=19.38; p=0.0002) (Figura 380).

Esta tendencia se relaciona a su vez con el grado de disturbio al que han sido sometidos los bosques en estudio, dado que en cada clima hay diferentes grados de intervención. La intervención es más pronunciada a medida que se avanza de muy

**Tabla 172.** Familias dominantes según la proporción de biomasa en los diferentes tipos de bosque en localidades del Sur y Noroccidente de Córdoba. Las familias con mayor biomasa en cada asociación aparecen resaltadas.

Familia	Asociación/comunidad											
	BHin1/ Pde- Tpo	BHri1/ Mis- Ppu	BHtf2/ Jco- Pmu	BHtf1/ Twe- Qhu	Bmhtf1/ Par-Vel	Bmhtf2/ Mla- Pma	Bmhtf2/ Cpy- Pdo	Bmhtf2/ Mgr- Ama	Bhtf1/ Thi-Spa	Bhtf2/ Cod- Cpl	Bhtf2/ Cpr-Cpa	Bttf3/ Asp- Gul
Anacardiaceae	16.6	0	0	0	0	0	2.74	5.1	1.09	1.68	0.78	8.16
Apocynaceae	0.48	0.4	0.02	6.4	1.11	2.2	0	0	0.51	0	0.22	0.27
Arecaceae	0.39	0.11	0.74	0	0.32	0.99	2.74	8.81	0.68	0	0.16	0.45
Bignoniaceae	2.17	0	3.06	0	3.1	0.07	3.53	0	0	0	4.82	11.01
Bombacaceae	6.95	9.34	0.2	0	0.82	4.76	24.13	32.48	66.29	56.92	13.47	3.47
Caesalpinaceae	0	5.22	16.62	0	5.7	0.04	1.14	12.67	1.55	0.21	1.74	4.74
Chrysobalanaceae	0.21	8.02	0.32	0.7	0	0.39	0.05	0	0	0	0	0
Elaeocarpaceae	0.3	0.86	0	0.1	5.02	14.76	0	0	0	0	0	0
Fabaceae	22.81	48.56	18.34	0.67	25.58	0.39	0	0	1.43	6.03	6.36	0.95
Fagaceae	0	0	0	62.87	0	0	0	0	0	0	0	0
Lauraceae	0.01	0.02	5.52	5.7	0.82	0.78	0	0.58	0.09	0	0	0
Lecythidaceae	1.97	14.16	5.54	0.42	3.82	2.87	1.24	2.55	0.07	0.01	0.69	3.92
Meliaceae	1.84	0.14	2.84	1.73	0.25	0.6	0	0	19.68	0.64	1.97	3.92
Mimosaceae	3.6	2.47	5.23	0.65	2.16	25.02	0.45	0.07	1.89	0.31	3.64	7.13
Moraceae	0.97	0.95	3.34	0	12.59	14.94	15.62	0.15	0.63	0	2.86	11.17
Myristicaceae	1.3	0.63	3.18	4.22	19.82	5.11	0	1.31	0	0	0	0
Polygonaceae	6.59	0	0.14	0	0	0	0	0	0.43	15.25	4.38	0
Sapotaceae	8.68	1.07	11.11	1.98	7.21	1.63	0	2.4	0.96	3.89	2.69	0
Sterculiaceae	0.44	0.18	1.78	0	1.13	0	0	0	1.92	0.01	2.63	35.18
Tiliaceae	5.71	0.01	0	0	0.5	0	26.37	0	14.24	2.36	21.93	0.09
Contribución total (%)	81.02	92.14	77.98	85.44	89.95	74.55	78.01	66.12	111.46	87.31	68.34	80.46

Convenciones

Código	Asociación	Código	Asociación
BHin1/Pde-Tpo	Prestoeo decurrentis-Trichillietum poeppigi	Bmhtf2/Cpy-Pdo	Cariniano pyriformis-Pentaplarietum doroteae
BHri1/Mis-Ppu	Macrolobio ischnocalycis-Peltogynetum purpurea	Bmhtf2/Mgr-Ama	Mayno grandifoliae-Astrocarvetum malybo
BHtf2/Jco-Pmu	Jacarando copaiae-Pouterietum multiflorae	Bhtf1/Thi-Spa	Trichilio hirtae-Schizolobietum parahibi
BHtf1/Twe-Qhu	Tovomito weddellianae-Quercetum humboldtii	Bhtf2/Cod-Cpl	Cappari odoratissimatis-Cavanillesietum platanifoliae
Bmhtf1/Par-Vel	Protio aracouchini-Viroletum elongatae	Bhtf2/Cpr-Cpa	Cordietum proctato- panamensis
Bmhtf2/Mla-Pma	Marilo laxiflorae-Pentaclethretum macrolobae	Bttf3/Asp-Gul	<i>Acalypha sp.</i> y <i>Guazuma ulmifolia</i>

húmedo, húmedo a semihúmedo, que explica la alta variabilidad observada en los bosques de estos ambientes.

Los bosques en climas super húmedos presentan grados de intervención de nulo a alto, predomina el grado bajo. En el clima muy húmedo, el grado de intervención es de bajo a medio. En el clima húmedo de nulo a alto, predomina el medio. En el clima semi húmedo solo se muestrearon sitios alterados (grado alto de intervención), que se relaciona con la baja cantidad de biomasa.

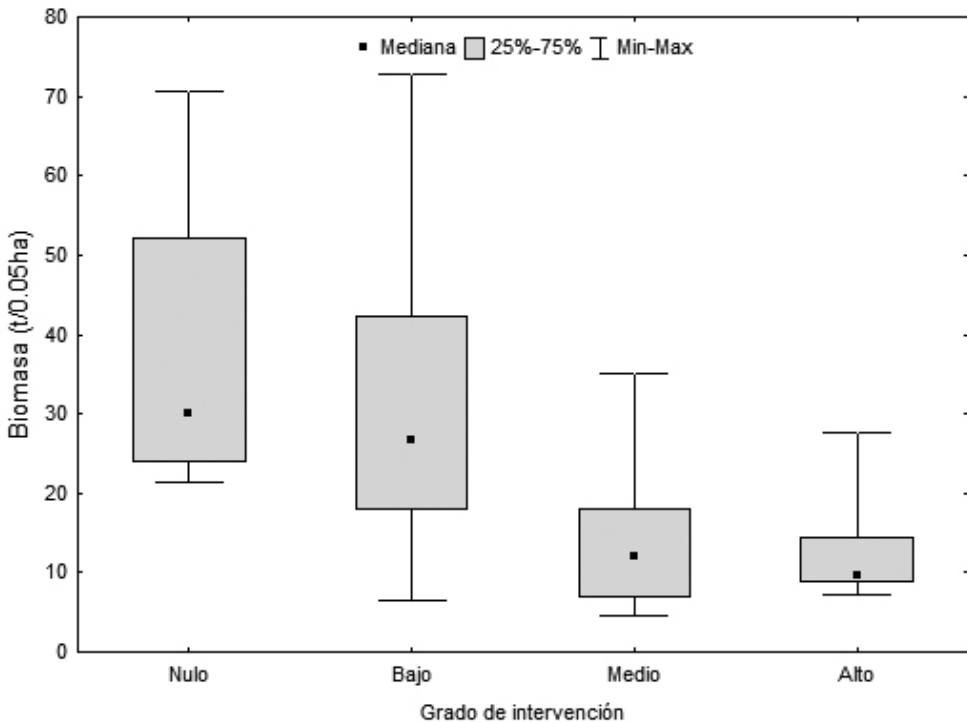
**Tabla 173.** Valores medios de biomasa y de carbono de los bosques por clima en el gradiente de precipitación súper húmedo-semihúmedo en localidades de Córdoba.

Clima	Biomasa (t/0.05m2)	Carbono (t/0.05m2)
Súper húmedo	34.18	15.68
Muy húmedo	21.15	9.62
Húmedo	21.39	9.64
Semihúmedo	7.39	3.34

**CONSIDERACIONES FINALES**

Se observó alta variación en los aspectos de la estructura y por consiguiente, en las reservas de biomasa y carbono entre los diferentes tipos de bosque del departamento de Córdoba. Este comportamiento está relacionado con los procesos de sucesión natural, con los factores ambientales y con la presión antrópica.

La biomasa varió entre 7.39±1.79 y 41.15±21.81 t/0.05ha entre los diferentes tipos de bosque. Fue menor para el bosque de la comunidad de *Acalypha* sp. y *Guazuma ulmifolia* y mayor para los bosques de la asociación *Macrolobio ischnocalycis* - *Peltogynetum purpurea*. De acuerdo a la cantidad de biomasa y carbono almacenados, los bosques analizados pertenecientes a las diferentes asociaciones se agruparon en cinco categorías: en la clase *muy altas* (>36.79-44.14 t/0.05ha) se ubican los bosques de las asociaciones *Prestoeo decurrentis* - *Trichillietum poeppigi*, *Macrolobio*



**Figura 380.** Variación de la biomasa con relación al gradiente de precipitación súper húmedo-semihúmedo en localidades de Córdoba.

ischnocalycis - Peltogynetum purpurea presentaron las mayores reservas de biomasa y carbono  $41.04 \pm 16.77$  t/0.05ha y se ubican. En la categoría *altas* ( $>29.44-36.79$  t/0.05ha) reservas de biomasa y de carbono se ubicaron los bosques de las asociaciones Protio aracouchini - Viroletum elongatae y Tovomito weddellianae - Quercetum humboldtii, con valores comprendidos entre  $30.01 \pm 5.15$  y  $34.33 \pm 11.73$  t/0.05ha. Los bosques de las asociaciones Trichilio hirtae- Schizolobietum parahibi y Cappari odoratissimatis - Cavanillesietum platanifoliae se agruparon en la categoría reservas de biomasa y carbono *medias* ( $>22.09-29.44$  t/0.05ha) con valores entre  $22.45 \pm 11.69$  y  $24.06 \pm 23.26$  t/0.05ha. Los bosques de las asociaciones Cariniano pyriformis - Pentaplarietum doroteae y Jacarando copaiaae - Pouterietum multiflorae se clasificaron bajo la denominación reservas *bajas* ( $>14.74-22.09$  t/0.05ha) con valores de biomasa entre  $18.54 \pm 7.94$  y  $20.1 \pm 2.05$  t/0.05ha. Los bosques de las asociaciones Marilo laxiflorae - Pentaclethretum macrolobae, Mayno grandifoliae - Astrocaryetum malybo, Cordietum proctato - panamensis y la comunidad de *Acalypha* sp. y *Guazuma ulmifolia* presentan la menor biomasa; se agruparon en la denominación reservas de biomasa y carbono muy *bajas* ( $7.39-14.74$  t/0.05ha) con valores que oscilan entre  $7.39 \pm 1.79$  y  $14.09 \pm 2.25$  t/0.05ha.

Las clases diamétricas mayores ( $>70$ cm) y los estratos arbóreos (superior e inferior) concentran la mayor cantidad de biomasa y de carbono en la mayoría de los bosques evaluados. Las asociaciones Prestoeo decurrentis - Trichillietum poeppigi y Macrolobio ischnocalycis - Peltogynetum purpurea contienen la mayor reserva de biomasa y carbono en la clase diamétrica VI ( $>100$ cm) con 41.03%. Las asociaciones Protio aracouchini - Viroletum elongatae y Tovomito weddellianae - Quercetum humboldtii contienen las mayores reservas en la clase V (70-100cm). Esta distribución explica los valores altos de biomasa y carbono observados en estas asociaciones. En contraste, la asociación Cordietum proctato - panamensis y la comunidad de *Acalypha* sp. y *Guazuma ulmifolia* tienen mayor cantidad de biomasa acumulada (57.91% y 62.71% respectivamente) en las clases diamétricas menores -clases II (10-20cm) y III (30-50cm)-. Esta tendencia tiene por supuesto, estrecha relación con el grado de intervención de cada bosque.

Las diferencias entre la biomasa de los bosques analizados se debe principalmente a la presencia de los elementos arbóreos del estrato superior. Con los resultados obtenidos, se podría concluir que la ausencia de elementos de gran porte en algunos levantamientos de bosques en recuperación es sustituida por la concentración de biomasa en estratos y clases diamétricas inferiores, como es el caso de la comunidad de *Acalypha* sp. y *Guazuma ulmifolia* y la asociación Cordietum proctato - panamensis; sin embargo, debido a los diferentes grados de transformación e intervención de estas localidades, se requieren más sitios de muestreo para comprobar esta afirmación.

En la distribución de la biomasa aérea y por ende en las reservas de carbono en dicha biomasa, se observa la dominancia de pocos individuos que concentran alta cantidad de carbono; sin embargo las clases de DAP y altura inferiores tienen un papel fundamental en el almacenamiento de carbono debido al alto número de individuos que contienen y a que están en proceso de crecimiento y algunos serán los individuos dominantes.

Las especies contribuyen de forma desigual al almacenamiento de biomasa y carbono en los bosques del Sur y Noroccidente del departamento de Córdoba. Se evidencia que la mayor cantidad de carbono está depositado en la biomasa de un pequeño número de especies, en promedio cinco especies contienen entre el 50 y 80% de las reservas de biomasa y carbono en cada tipo de bosque. Entre las especies que exhiben esta condición se encuentran: *Quercus humboldtii* (62.99% de biomasa en el tipo de bosque donde se encuentra), *Peltogyne purpurea* (37.88%), *Guazuma ulmifolia* (35.16%), *Cavanillesia platanifolia* (34.74%), *Pseudobombax septenatum* (32.09%), Bombacaceae sp. 1 (31.02%), *Dipteryx oleifera* (23.25%), *Pentaclethra macroloba* (22.59%) y *Pentaplaris doroteae* (26.39%). La contribución de las especies al almacenamiento de carbono en estos bosques está determinada principalmente por la talla del árbol (área basal) y en segundo lugar por la abundancia (número de individuos).

Esta condición indica que si se ejerce presión antrópica (tala) sobre las poblaciones de estas especies se liberará a su vez una cantidad importante de carbono. Según Estupinán & Jiménez (2010), la especie

*Dipteryx oleifera* representa una importante fuente de uso para las comunidades de la región dentro de las especies arbóreas de gran porte. Al analizar su relación con los altos contenidos de carbono en la zona se concluye que su amplio uso en comestibles, construcción, y elaboración de herramientas debe ser controlado debido a que sería causante de un gran aporte de GEI en el territorio.

En este aporte, *Dipteryx oleifera* fue la especie con mayor proporción de biomasa en las asociaciones Jacarando copaiae - Pouterietum multiflorae, Prestoeo decurrentis - Trichillietum poeppigi y Protio aracouchini - Viroletum elongatae con un promedio de 20% de contribución a las reservas de carbono. Si la mayor contribución a las reservas de carbono en los bosques está dada por unas pocas especies, es preciso que el uso que los habitantes de la zona le dan a estas, esté acorde con medidas de mitigación de los impactos ya que pueden situarse en condición vulnerable o peligro por la tala, factor de gran influencia en la permanencia de dichas reservas en el tiempo. Con este resultado se dan argumentos para la conservación de especies, un argumento más es su papel significativo en el mantenimiento de servicios ambientales como el almacenamiento de carbono.

Los bosques las asociaciones Macrolobio ischnocalycis - Peltogynetum purpurea, Prestoeo decurrentis - Trichillietum poeppigi, Tovomito weddellianae - Quercetum humboldtii ubicados en el parque natural nacional Paramillo y de la asociación Protio aracouchini - Viroletum elongatae ubicado en la zona de amortiguación, presentaron los valores más altos de carbono en la biomasa con respecto a los demás bosques lo cual se relaciona con el buen estado de conservación que presentan. Estos resultados sumados a su ubicación en una zona con prioridad de conservación y la disposición de algunos pobladores a participar en planes que tiendan a la protección de los bosques, son condiciones que constituyen una ventaja para proponer estas áreas como estratégicas para la protección de las reservas de carbono y biodiversidad y motivan la búsqueda de incentivos económicos para su mantenimiento como es el caso de proyectos de reducción de emisiones por deforestación evitada y biodiversidad REDD+.

El papel de los bosques con alto grado de intervención y secundarios también es importante,

aunque no hayan presentado cantidades altas de biomasa, pueden constituir sumideros de carbono debido a la fase en que se encuentran (recuperación y crecimiento) en la cual capturan dióxido de carbono y lo almacenan en sus estructuras. Además, si estos bosques ocupan áreas extensas del paisaje en Córdoba, que aunque no se ha cuantificado (investigación que está en desarrollo), se prevee que tienen una gran proporción en el espacio ocupado, por consiguiente en conjunto sumarían una cantidad importante de reservas. Estas condiciones pueden hacer de los bosques intervenidos descritos en cuanto a su biomasa y carbono en localidades de Córdoba, tales como los pertenecientes a las asociaciones Jacarando copaiae - Pouterietum multiflorae y Marilo laxiflorae - Pentactethretum macrolobae jueguen un papel importante en el ciclo del carbono, como lo han descrito en otros estudios (Sierra *et al.* 2007).

#### AGRADECIMIENTOS

Queremos expresar nuestros agradecimientos al Instituto de Investigaciones en Geociencias y Minería INGEOMINAS por la disponibilidad de espacios, equipos y la colaboración en la preparación de muestras y en la realización de los análisis elementales.

#### LITERATURA CITADA

- ALVES, L.F., S. VIEIRA, M.A. SCARANILLO, P.B. CAMARGO, F.A. SANTOS, C.A. JOLY & L. MARTINELLI. 2010. Forest structure and live aboveground biomass variation along an elevational gradient of tropical Atlantic moist forest (Brazil). *Forest Ecology and Management*. 679-691pp.
- ANZOLA, A. & J. RODRÍGUEZ. 2001. Estimación preliminar de biomasa en ecosistemas boscosos de Colombia. Tesis para optar el título de ingeniero forestal. Facultad del medio ambiente y recursos naturales. Universidad Distrital. Bogotá D.C. 212 pp.
- BRAUN-BLANQUET, J. 1979. *Fitosociología: Bases para el estudio de las comunidades vegetales*. Ed Blume. Madrid. 820 pp.
- BROWN, S. 1997. Estimating biomass and biomass change of tropical forest. A primer. A forest resources assessment publication. Food and Agriculture Organization, Roma. UN FAO Forestry Paper, No. 134. 58pp.

- CHAVE, J., B. RIÉRA & M.A. DUBOIS. 2001.** Estimation of biomass in a neotropical forest of French Guiana: spatial and temporal variability. *Journal of Tropical Ecology* 17: 79-96.
- CHAVE, J., C. ANDALO, S. BROWN, M.A. CAIRNS, J.Q. CHAMBERS, D. EAMUS, H. FOLSTER, F. FROMARD, N. HIGUCHI, T. KIRA, J.P. LESCURE, B.W. NELSON, H. OGAWA, H. PUIG, B. RIERA & T. YAMAKURA. 2005.** Tree allometry and improved estimation of carbon stocks and balance in tropical forests. *Oecologia* 145: 87-99.
- CHAVE, J., D. COOMES, S. JANSEN, S.L. LEWIS, N.G. SWENSON & A.E. ZANNE. 2009.** Towards a worldwide wood economics spectrum. *Ecology Letters* 12: 351-366.
- CHAVE, J., R. CONDIT, S. LAO, J. CASPERSEN, R. FOSTER & S. P. HUBBELL. 2003.** Spatial and temporal variation of biomass in a tropical forest: results from a large census in Panamá. *Journal of Ecology* 91: 240-252.
- CLARK, D. & D. CLARK. 2000.** Landscape-scale variation in forest structure and biomass in a tropical rain forest. *Forest Ecology and Management* 137: 185-198.
- ESTUPIÑAN, A.C., N.D. JIMENEZ-E., A. AVELLAM. & J.O. RANGEL-CH. 2011.** Estructura y composición florística de los bosques inundables del parque Nacional Natural Paramillo (Córdoba, Colombia). En: J.O. Rangel-Ch (ed.). *Colombia Diversidad Biótica XI. Patrones de la estructura y de la riqueza de la vegetación en Colombia*. Instituto de Ciencias Naturales, Universidad Nacional de Colombia. Bogotá, D.C. 269-294 pp.
- ESTUPIÑAN-C., A.C. & N.D. JIMÉNEZ-E. 2010.** Uso de las plantas por grupos campesinos en la franja tropical del Parque Nacional Natural Paramillo (Córdoba, Colombia). Programa de Maestría en Biología. Biodiversidad y Conservación. Instituto de Ciencias Naturales, Universidad Nacional de Colombia. *Caldasia* 32 (1): 21-38.
- GARCÍA, S. 1982.** Geografía de Córdoba. Editorial Bedout. Tercera edición. Medellín.
- GLOBAL WOOD DENSITY DATABASE [en línea].** <<http://www.worldagroforestrycentre.org/sea/products/AFDBases/wd/>>
- GOWER, S.T. 2003.** Patterns and mechanisms of the forest carbon cycle. *Annual Review Environmental Resources* 28: 169-204.
- GOLLEY, F.B. 1983.** *Ecosystems of the World. 14 A. Tropical Forest Ecosystems. Structure and Function*. Elsevier, Amsterdam.
- HIJMANS, R.J., S.E. CAMERON, J.L. PARRA, P.G. JONES & A. JARVIS. 2005.** Very high resolution interpolated climate surfaces for global land areas. *International Journal of Climatology* 25: 1965-1978. En: *WORLDCLIM- Global climate data [base de datos en línea]*. <<http://www.worldclim.org/>>
- HUGHES, R.F., J.B. KAUFFMAN & V.J. JARAMILLO. 1999.** Biomass, carbon, and nutrient dynamics of secondary forests in a humid tropical region of Mexico. *Ecology* 80: 1897-1907.
- INSTITUTO GEOGRAFICO AGUSTIN CODAZZI-IGAC. 2009.** Estudio General de Suelos y Zonificación de Tierras Departamento del Córdoba. Escala 1:100.000. Bogotá D.C.
- KIRBY, K.R. & C. POTVIN. 2007.** Variation in carbon storage among tree species: Implications for the management of a small-scale carbon sink project. *Forest Ecology and Management* 246: 208-221.
- INTERGOVERNMENTAL PANEL ON CLIMATE CHANGE (IPCC). 2005.** Orientación del IPCC sobre las buenas prácticas para UTCUTS. Publicado por la Organización Meteorológica Mundial (OMM) para el IPCC. Ginebra. 124-129.
- LASTRA, J.A. 1975.** Compilación de las propiedades físico-mecánicas y usos posibles de 178 maderas de Colombia. Asociación Colombiana de Ingenieros Forestales ACIF. Libro técnico ACIF No. 1. Universidad Distrital Francisco José de Caldas. Bogotá, DC. 76pp.
- LAUMONIER, Y., A. EDIN, M. KANNINEN & A.W. MUNANDAR. 2010.** Landscape-scale variation in the structure and biomass of the hill dipterocarp forest of Sumatra: Implications for carbon stock assessments. *Forest Ecology and Management* 259: 505-513.
- LECO CORPORATION. 1984.** ST. Joseph. Instruction manual CHN-600. *Elemental Analyzer for Macrosamples 785 - 500 System*. U.S.A.
- LINDNER, A. 2010.** Biomass storage and stand structure in a conservation unit in the Atlantic Rainforest -The role of big trees-. *Ecological Engineering* 36: 1769-1773.
- OVERMAN, J.P., J.G. SALDARRIAGA & J.F. DUIVENVOORDEN. 1990.** Estimación de la biomasa aérea en el bosque del medio Caquetá, Colombia. *Colombia Amazónica* 4 (2): 135-147.
- PALENCIA, G., T. MERCADO & E. COMBATT. 2006.** Estudio agroclimático del departamento de Córdoba. Facultad de Ciencias Agrícolas, Universidad de Córdoba. Montería. 126 pp.

- RANGEL-CH, J.O. & A. VELÁSQUEZ. 1997.** Métodos de estudio de la vegetación. En: Rangel-Ch, J.O., Lowy, P y Aguilar., M. Colombia diversidad biótica II. Tipos de vegetación en Colombia. Instituto de Ciencias Naturales Universidad Nacional de Colombia. Bogotá, D.C. 59-87 pp.
- RANGEL-CH, J.O. & H. ARELLANO-P. 2010.** Clima del departamento de Córdoba. En: J.O. Rangel-Ch (ed.). Colombia Diversidad Biótica IX. Ciénagas de Córdoba: caracterización biológica y planes de manejo. Instituto de Ciencias Naturales, Universidad Nacional de Colombia y Corporación Autónoma Regional de los Valles del Sinú y del San Jorge. Bogotá, D.C. 1-14 pp.
- RANGEL-CH, J.O., H. GARAY-PULIDO & A. AVELLA-M. 2010.** Bosques húmedos y secos circundantes a los complejos de humedales (ciénagas), en el departamento de Córdoba. En: Rangel-Ch, J.O. Colombia diversidad biótica IX. Ciénagas de Córdoba: Biodiversidad, ecología y manejo ambiental. Instituto de Ciencias Naturales Universidad Nacional de Colombia y Corporación Autónoma Regional de los Valles del Sinú y del San Jorge. Bogotá, D.C. 207-323 pp.
- RANGEL-CH., J.O. & A. AVELLA. 2011.** Oak forests of *Quercus humboldtii* in the Caribbean region and distribution patterns related with environmental factors in Colombia. *Plant Biosystems* 145: 186-198.
- RANGEL-CH., J.O. & J.E. CARVAJAL. (en imprenta).** Clima del Caribe de Colombia. En: J.O. Rangel-Ch (ed.). Colombia Diversidad Biótica XII: El caribe de Colombia. Instituto de Ciencias Naturales, Universidad Nacional de Colombia. Bogotá, D.C.
- RODRÍGUEZ, J.C. 1989.** Consideraciones sobre la Biomasa, Composición Química y Dinámica del Bosque Pluvial Tropical de Colinas Bajas. Bajo Calima. Buenaventura, Colombia. Corporación Nacional de Investigación y Fomento Forestal. CONIF. Serie Documental N° 16 Bogota, D. C. 36 pp.
- SIEGEL, S. & N.J. CASTELLAN. 1988.** Nonparametric statistics for the behavioral sciences (2<sup>a</sup> Ed.). Nueva York, McGraw-Hill.
- SIERRA, C.A., J.I. DEL VALLE, S.A. ORREGO, F.H. MORENO, M.E. HARMON, M. ZAPATA, G.J. COLORADO, M.A. HERRERA, W. LARA, D.E. RESTREPO, L.M. BERROUET, L.M. LOAIZA & J.F. BENJUMEA. 2007.** Total carbon stocks in a tropical forest landscape of the Porce region, Colombia. *Forest Ecology and Management* 243: 299-309.
- STATSOFT., INC. 2002.** STATISTICA for Windows [Computer program manual]. Tulsa, OK: StatSoft, Inc., 2300 East 14th Street, Tulsa, OK, 74104-4442, (918) 749-1119, fax: (918) 749-2217, <http://www.statsoft.com>.
- URQUIZA-HAAS, T., P.M. DOLMAN & C.A. PERES. 2007.** Regional scale variation in forest structure and biomass in the Yucatan Peninsula, Mexico: Effects of forest disturbance. *Forest Ecology and Management* 247: 80–90.
- WITTMANN, F., B.T. ZORZI, F.A. TAMBELINI, M.V. SANTIAGO, R. RODRIGUES FARIA, N. MACHADO, E. SOUZA, R. MACEDO & A. LISBOA. 2008.** Tree Species Composition, Structure, and Aboveground Wood Biomass of a Riparian Forest of the Lower Miranda River, Southern Pantanal, Brazil. *Folia Geobot.* 47: 397–411.
- ZAPATA, M., G.J. COLORADO & J.I. DEL VALLE. 2003.** Ecuaciones de biomasa aérea para bosques primarios intervenidos y secundarios. En: S.A. Orrego, J.I. del Valle & F.H. Moreno. Medición de la captura de carbono en ecosistemas forestales tropicales de Colombia, contribuciones para la mitigación del cambio climático. Universidad Nacional de Colombia. Medellín. 314 pp.

**Anexo 17.** Biomasa de especies dominantes para cada tipo de bosque.

Asociación	Especie	Biomasa (t/0.05 ha)	Biomasa (%)	RCB (t/0.05 ha)	RCB (%)
Acalypha sp. y Guazuma ulmifolia	<i>Guazuma ulmifolia</i>	2,59	35,16	1,19	35,52
	<i>Tabebuia rosea</i>	0,81	10,96	0,38	11,47
	<i>Spondias mombin</i>	0,6	8,2	0,28	8,28
	<i>Caesalpinia glabrata</i>	0,35	4,76	0,15	4,59
	<i>Mimosaceae</i> sp. 6	0,32	4,35	0,14	4,29
	Subtotal	4,67	63,43	2,14	64,15
	Otras especies	2,69	36,57	1,2	35,85
Total	7,36	100	3,34	100	
Cappari odoratissimatis - Cavanillesietum platanifoliae	<i>Bombacaceae</i> sp. 1	6,95	31,02	3,14	31,07
	<i>Cavanillesia platanifolia</i>	5,83	26,03	2,63	25,96
	<i>Ruprechtia costata</i>	3,15	14,05	1,43	14,13
	<i>Manilkara bidentata</i>	0,85	3,81	0,39	3,82
	<i>Machaerium milleflorum</i>	0,76	3,39	0,34	3,39
	Subtotal	17,54	78,3	7,93	78,37
Otras especies	4,85	21,7	2,19	21,63	
Total	22,39	100	10,12	100	
Cariniano pyriformis - Pentaplarietum doroteae	<i>Pentaplaris</i> sp. 1	5,3	26,39	2,33	25,78
	<i>Cavanillesia platanifolia</i>	4,85	24,15	2,17	24,01
	<i>Castilla elastica</i>	3,1	15,43	1,43	15,82
	<i>Croton</i> sp. 1	1,79	8,91	0,82	9,07
	<i>Tetragastris panamensis</i>	0,68	3,39	0,32	3,54
	Subtotal	15,72	78,27	7,07	78,22
Otras especies	4,37	21,73	1,97	21,78	
Total	20,09	100	9,04	100	
Cordietum proctato - Cordietum panamensis	<i>Pentaplaris</i> sp. 1	2,31	22,14	1,02	21,66
	<i>Cavanillesia platanifolia</i>	1,31	12,58	0,59	12,52
	<i>Bursera simaruba</i>	0,57	5,45	0,26	5,45
	<i>Acanthaceae</i> sp. 2	0,48	4,63	0,22	4,66
	<i>Pterocarpus acapulcensis</i>	0,44	4,25	0,2	4,31
	Subtotal	5,11	49,05	2,29	48,6
Otras especies	5,3	50,95	2,41	51,4	
Total	10,41	100	4,7	100	
Jacarando copaiaie - Pouterietum multiflorae	<i>Dipteryx oleifera</i>	2,98	16,16	1,41	16,45
	<i>Dialium guianense</i>	2,44	13,22	1,14	13,23
	<i>Pouteria multiflora</i>	1,03	5,58	0,47	5,43
	<i>Pentaclethra macroloba</i>	0,81	4,37	0,38	4,46
	<i>Eschweilera pittieri</i>	0,77	4,19	0,37	4,34
	Subtotal	8,03	43,52	3,77	43,91
Otras especies	10,43	56,48	4,82	56,09	
Total	18,46	100	8,59	100	
Macrolobio ischnocalycis - Peltogynetum purpurea	<i>Peltogyne purpurea</i>	15,57	37,88	7,11	37,61
	<i>Couratari guianensis</i>	4,18	10,17	1,94	10,25
	<i>Andira inermis</i>	3,93	9,57	1,8	9,52
	<i>Huberodendron patinoi</i>	3,82	9,3	1,76	9,28
	<i>Licania</i> sp. 2	3,19	7,76	1,47	7,75
	Subtotal	30,69	74,68	14,08	74,41
Otras especies	24,09	25,32	11,12	25,59	
Total	54,78	100	25,2	100	

## Continuación Anexo 17.

Asociación	Especie	Biomasa (t/0.05 ha)	Biomasa (%)	RCB (t/0.05 ha)	RCB (%)
Marilo laxiflorae - Pentaclethretum macrolobae	<i>Pentaclethra macroloba</i>	3,18	22,59	1,5	22,82
	<i>Sloanea tuerckheimii</i>	2,08	14,8	0,99	14,99
	<i>Brosimum utile</i>	1,68	11,95	0,79	12,02
	<i>Sloanea zuliaensis</i>	0,98	6,97	0,46	7
	<i>Ermiriodes</i> sp. 1	0,64	4,55	0,3	4,49
	Subtotal	8,56	60,86	4,04	61,32
	Otras especies	5,5	39,14	2,53	38,68
Total	14,06	100	6,57	100	
Mayno grandifoliae - Astrocaryetum malybo	<i>Pseudobombax septenatum</i>	4,4	32,09	1,94	31,19
	<i>Schizolobium parahyba</i>	1,35	9,85	0,62	9,97
	<i>Astrocaryum malybo</i>	1,19	8,68	0,54	8,68
	<i>Aegiphila</i> sp. 1	1	7,29	0,46	7,4
	<i>Bursera simaruba</i>	0,95	6,93	0,43	6,91
	Subtotal	8,89	64,84	3,99	64,15
	Otras especies	4,82	35,16	2,23	35,85
Total	13,71	100	6,22	100	
Prestoeo decurrentis - Trichillietum poepigii	<i>Dipteryx oleifera</i>	8,21	20,04	3,77	20,14
	<i>Anacardium excelsum</i>	5,1	12,45	2,29	12,22
	<i>Ceiba pentandra</i>	2,85	6,96	1,31	6,97
	<i>Vitex cymosa</i>	2,65	6,45	1,15	6,13
	<i>Chrysophyllum argenteum</i>	2,19	5,34	1,01	5,37
	Subtotal	21	51,24	9,53	50,83
	Otras especies	19,99	48,76	9,19	49,17
Total	40,99	100	18,72	100	
Protio aracouchini - Viroletum elongatae	<i>Dipteryx oleifera</i>	7,97	23,25	3,76	23,99
	<i>Virola reidii</i>	4,43	12,92	1,92	12,24
	<i>Brosimum guianense</i>	3,32	9,7	1,44	9,18
	<i>Pouteria</i> sp. 5	2,17	6,33	0,98	6,24
	<i>Virola sebifera</i>	1,96	5,72	0,91	5,79
	Subtotal	19,85	57,92	9,01	57,44
	Otras especies	14,42	42,08	6,65	42,56
Total	34,27	100	15,66	100	
Tovomito weddellianae - Quercetum humboldtii	<i>Quercus humboldtii</i>	18,86	62,99	8,68	62,93
	<i>Aspidosperma</i> sp. 3	1,88	6,28	0,87	6,27
	<i>Nectandra martinicensis</i>	1,54	5,14	0,71	5,11
	<i>Virola elongata</i>	1,26	4,21	0,59	4,28
	<i>Dendrobanzia boliviana</i>	1,09	3,62	0,5	3,59
	Subtotal	24,63	82,24	11,35	82,18
	Otras especies	5,31	17,76	2,44	17,82
Total	29,94	100	13,79	100	
Trichilio hirtae- Schizolobietum parahibi	<i>Cavanillesia platanifolia</i>	8,36	34,74	3,78	34,88
	<i>Trichilia hirta</i>	3,18	13,2	1,44	13,3
	<i>Pentaplaris doroteae</i>	2,37	9,87	1,04	9,64
	<i>Pseudobombax septenatum</i>	1,28	5,33	0,56	5,2
	<i>Bursera simaruba</i>	1,1	4,57	0,5	4,59
	Subtotal	16,29	67,71	7,32	67,62
	Otras especies	7,77	32,29	3,51	32,38
Total	24,06	100	10,82	100	

